



appunti
www.centroappunti.it

Corso Luigi Einaudi, 55 - Torino

Appunti universitari

Tesi di laurea

Cartoleria e cancelleria

Stampa file e fotocopie

Print on demand

Rilegature

NUMERO : 86

DATA : 28/04/2011

A P P U N T I

STUDENTE : Alessio

**MATERIA : Fondamenti di Macchine + Esercizi
Prof. Casalino**

Il presente lavoro nasce dall'impegno dell'autore ed è distribuito in accordo con il Centro Appunti.

Tutti i diritti sono riservati. È vietata qualsiasi riproduzione, copia totale o parziale, dei contenuti inseriti nel presente volume, ivi inclusa la memorizzazione, rielaborazione, diffusione o distribuzione dei contenuti stessi mediante qualunque supporto magnetico o cartaceo, piattaforma tecnologica o rete telematica, senza previa autorizzazione scritta dell'autore.

ATTENZIONE: QUESTI APPUNTI SONO FATTI DA STUDENTI E NON SONO STATI VISIONATI DAL DOCENTE.
IL NOME DEL PROFESSORE, SERVE SOLO PER IDENTIFICARE IL CORSO.

FONDAMENTI DI MACCHINE

Teoria

11/10/10

Prof. Cardillo → tel interno 4453, email: lorenzo.casalino@polito.it

Prof. Pastorene → esercitatore

Materiale

- Beccari ; Clift

Macchine, Vol I → turbomacchine

- Collierdo

Dispense disponibili al centro stampa → motori alternativi

- Hill-Peterson

Mechanics and Thermodynamics of Propulsion (cap. 7, 8, 9)

Esame

Argomento d'esame: lezioni

Esercitazioni → non richieste esplicitamente all'esame

Esame orale → 2/3 domande ($\frac{1}{2}$ h di colloquio)

MACCHINA $\stackrel{\text{def}}{=}$ insieme di organi, alcuni dei quali fissi e alcuni dei quali mobili, che serve a scambiare lavoro

Lavoro → prodotto quando una forza cambia il suo pt di applicazione

$$L = F \cdot s \quad (\text{forza nella direzione del moto})$$

Diversi tipi di macchine:

- elettriche → em. elettrica usata per mettere in moto gos (motore) opp. movim. usato per produrre em. elettrica (dinamo)
- a fluido (argomento di qst corso) → scambi di lavoro tra uno o più organi mobili della macchina e un fluido (aria, acqua, gos prodotti da una combustione, vapore, ...)
liquido → macchine idrauliche

fluido/gos
vapore } macchine termiche (fare lavoro su un gas/vapore
comporta in genere variaz. della sua temperatura)

- Macchine $\begin{cases} \text{operatrici} \\ \text{motrici} \end{cases}$ → macchine fa lavoro su fluido (es. compressore, turbospinse, ventilatore)
(es. turbine, motori alternativi)

①

RICHIAMI DI TERMODINAMICA

Primo principio della termodinamica

forma lagrangiana \rightarrow applicata ai sistemi chiusi (adatta a macchine volumetriche)
 ↑
 i principi si applicano a quei !!!

1^o cosa da fare: evidenziare il sistema a cui applicare il principio (nelle macchine a fluido il sist. è il fluido)

Sist. chiusi \rightarrow determinati da una certa quantità di energia che gli è e gli rimane

Studiamo l'evoluzione tra un certo istante iniziale ed un certo istante finale. Per far qst serve il 1^o princ. della termodinamica:

"La quantità di energia che noi diamo al nostro sistema non va persa, ma rimane all'interno del sistema stesso"

\rightarrow se mio sist. aveva una certa en. iniziale \rightarrow la ha en. finale = en. iniziale + qll che io gli ho dato (conservaz. dell'energia)

calore ceduto da esterno a sistema + lavoro da esterno a sistema = variaz. energia del sistema

$$\Delta E = E_{\text{finale}} - E_{\text{iniziale}}$$

(macchina per noi)

Calore e lavoro sono 2 modi per trasmettere energia:

- calore \rightarrow in modo disordinato
- lavoro \rightarrow in modo ordinato

es. stantuffo sole nel cilindro \rightarrow tutte le particelle che sbattono contro lo stantuffo ricevono una spinta verso l'alto in maniera ordinata (nella stessa direz.)

es. scaldo il mio cilindro (stantuffo fijo) \rightarrow molecole dello gas hanno sbattuto disordinatamente contro gli elettroni del metallo del cilindro \rightarrow qnd sono sbatte contro il cilindro viene spinta in varie direzioni.

\rightarrow L'effetto è lo stesso ma 2 casi: ma qst 2 casi: faccio in modo che al fluido succedano 2 cose diverse \rightarrow ci sarà un 2^o principio.

(3)

Se gas non ideale \rightarrow non fare 2 cose:

- a) usi un opportuno cr medio
- b) se ha dei vapori devi usare delle mappe (es. diagramma di Mollier per avere entalpia in funz. di p e T)

- $c = \text{vel. del fluido} \rightarrow \text{en. cinetica per unità di massa}$

$$E_c = \frac{c^2}{2}$$

$9,81 \text{ m/s}^2$

- $E_g = (\frac{1}{2} \rho E) \leftarrow \text{altezza}$

Lavoro fatto per unità di massa per uno spostamento delle forze gravitaz.

N.B. per gas/vapori \rightarrow macchine termiche:

E_g piccola rispetto alle altre \rightarrow trascurabile
nei liquidi non è invece così

- Sist che ruota con una certa vel ang. w :

$$\cdot \nabla w \quad \frac{F_{cf}}{m} = w^2 r \rightarrow E_{cf} = - \frac{w^2 r^2}{2}$$

\uparrow
Lavoro
cambiato
di regime

Turbomacchine:

corrente che attraversa la macchina in modo continuo

\rightarrow non si usa la formulaz. del 1° Princ. in forma lagrangiana perché per forza bisognerebbe considerare tutti gli scambi che ogni partecella ha avuto con l'aria che le sta vicina

in termini di lavoro ed energia \approx

\rightarrow altra pt di vista

Forma euleriana del 1° princ. (per sistemi aperti)

\rightarrow si considera un in certo vol. di fluido ma un certo vol. di controllo attraverso cui passa il fluido



All'interno del vol. di controllo possono esserci organi mobili che scambiano lavoro (es. ventilatori) e per es. riscaldatori che cedono calore al flusso.

Per ricavare la forma euleriana dobbiamo partire dalla forma lagrangiana, scegliendo opportunamente un sistema da cui partire.

(5)

$$dV = dm \cdot \dot{v}$$

volume
specie

Mettendo tutto nell'espressione del 1° Principe e dividendo per dt , si ottiene:

$$\dot{Q}_e + P_i = \frac{d \int \rho E dV}{dt} + \frac{dm_u}{dt} (U + pV + E_{c,g,cf})_u +$$

$$- \frac{dm_i}{dt} (U + pV + E_{c,g,cf})_i$$

1° princ. in
forma entalpica

= "il calore che dovrà al v. di controllo nell' unità di tempo va a fornire l' energia del vc o va a ridurre l'en del fluido in uscita rispetto a quell di ingresso" (conservaz. dell' energia)

Condizione di moto permanente / stazionario

In ogni pt le grandezze rimangono cost.

(condiz. tipica di funzionam. delle turbomacchine a regime)

- 1) \rightarrow tutte le derivate rispetto al tempo sono nulle, in particolare noi non considereremo mai il termine $\frac{d \int \rho E dV}{dt}$
- 2) \rightarrow Si conserva anche la massa del vc

$$\text{cioè } \frac{dm_i}{dt} = \frac{dm_u}{dt} = \dot{m}$$

↑
portata
in massa
= quantità
di fluido
che attraversa
il vc nello
unità di tempo

\rightarrow La formulazione che useremo (ma delle formule) deve tener conto anche che, ~~sulla m~~ un m è detto che il flusso entra tutto nelle stesse condiz. ed esce nelle stesse condiz. (es. più ingressi $\rightarrow H_2O$ calda + H_2O fredda):

$$\dot{Q}_e + P_i = \sum_{k_u=1}^{m_u} \dot{m}_{uk_u} (U + pV + E_{c,g,cf})_u +$$

$$- \sum_{k_i=1}^{m_i} \dot{m}_{ik_i} (U + pV + E_{c,g,cf})_i$$

Caso particolare: un solo ingresso e una sola uscita

$$\dot{Q}_e + P_i = \dot{m} (\Delta (U + pV + E_{c,g,cf}))$$

visto che m è \rightarrow varia nello spazio e nel tempo!

(7)

Il 2° principio può essere combinato tra loro!

Forma mista del 2° Principio della termodinamica

Usando la forma differenziale:

$$dQ_e + dL_e = du + dE_{c,g,cf} \quad (\text{forma lagrangiana})$$

$$dQ_e + dL_i = di + dE_{c,g,cf} \quad (\text{forma euleriana})$$



$$dL_e = -pdv + dE_{c,g,cf} + dL_w$$

$$dL_i = vdp + dE_{c,g,cf} + dL_w$$

- per comprendere un fluido opp. acc. c'è bisogno di lavoro, il calore non serve
- non sempre serve lavoro! per ottenere un'elastica con variaz. di volume o di quota
comp. perdiamo qes! (\Rightarrow meno che $dL_w = 0$)
bisogna vincere le resistenze parassite e le energie esterne

Il fluido evolve, in modo differente \rightarrow trasform. tipiche:
(gas perfetto ideale)

- trasformaz. isentropica $\rightarrow S = \text{cost}$

$$Tds = C_p dT - vdp \rightarrow ds = C_p \frac{dT}{T} - v \frac{dp}{p}$$

$$\frac{v}{T} = \frac{R}{p} \text{ per l'eq. di stato} \rightarrow ds = C_p \frac{dT}{T} - R \frac{dp}{p}$$

$$\text{Integrando} \rightarrow \Delta S = 0 = C_p \ln \frac{T_2}{T_1} - R \ln \frac{p_2}{p_1}$$

dividiamo per R:

$$\frac{C_p}{R} \ln \frac{T_2}{T_1} - \ln \frac{p_2}{p_1} = 0$$

usando le proprietà dei logaritmi: $\ln \left[\frac{\left(T_2/T_1 \right)^{C_p/R}}{p_2/p_1} \right] = 0$

$$C_p - C_v = R, \quad \frac{C_p}{C_v} = \gamma$$

$$\Rightarrow \frac{p_2}{p_1} = \left(\frac{T_2}{T_1} \right)^{\frac{\gamma}{\gamma-1}}$$

$$\left(\frac{\gamma}{\gamma-1} = \frac{C_p}{R} \right)$$

$$\frac{p_2}{p_1} = \left(\frac{v_1}{v_2} \right)^\gamma$$

eq. di stato

$$\frac{v_1}{v_2} = \left(\frac{T_2}{T_1} \right)^{\frac{1}{\gamma-1}}$$

⑨

2° Punc. non distingue tra calore ed L_w (c'è però un modo così)
solo che:

- scambio di calore \rightarrow avviene con l'esterno
 - ottiene avvenuto con l'interno, tendono a far aumentare la temp. e scambio di altre forme di energia (es. en. cinetica)
- In ogni caso ho comunque un aumento di T .

Pt di vista Euleriano, ipotesi di moto permanente

$$\Rightarrow Q_e + L_i = \Delta i + \Delta E_C + \Delta E_{g,cf}$$

Consideriamo come fluido un gas perfetto ideale e ci mettiamo in un ref. frame (non rotante) in cui non ci sono forze centrifughe Δi

$$\Rightarrow Q_e + L_i = (C_p \Delta T) + \Delta E_C$$

Trasform. e macchine sono adiabatiche $\rightarrow Q_e = 0$

$$\Rightarrow L_i = C_p \Delta T + \Delta E_C$$

la uscita per lo studio di
1° prem. compresori e turbini

= "se forniamo lavoro aumentano temp. ed en. cinetica"

Turbomacchine $\rightarrow \Delta E_C$ grande e non trascurabile

MA all'inizio considereremo la nostra equaz. in assenza di ΔE_C

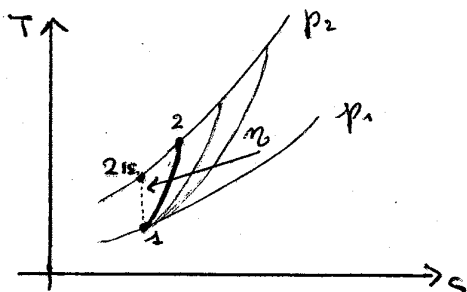
$$\Rightarrow L_i = C_p \Delta T = \Delta i$$

1° prem.
($\Delta E_C = 0$)

Compressione

$$L_i = L_c > 0$$

$$\left. \begin{array}{l} \text{1 ingresso nel volume} \\ \text{2 uscita dal volume} \end{array} \right\} \rightarrow L_c = C_p (T_2 - T_1)$$



N.B. le isobare divergono

$$L_c > L_{cis} \quad (\text{sempre!})$$

perché $T_2 > T_{2,1s}$

↑
perdite \approx fornitura
di calore

Trasf. adiab. $\rightarrow L_w \geq 0$, $Q_e = 0$; assumiamo $L_w > 0 \Rightarrow 2$ ($\Delta S > 0$)

se avessimo avuto $L_w = 0 \Rightarrow 2 \text{ ls.}$ ($1s = \text{isentropico}$) ($\Delta S = 0$)

$$L_c = C_p (T_2 - T_1) ; L_{cis} = C_p (T_{2,1s} - T_1)$$

N.B. 2_{1s} è univoco, 2 no! (è un qualunque pt su qd' isobara p_2)

(A1)

In particolare si ha che:

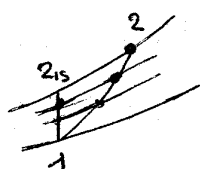
$$L_c - L_w = \frac{m}{m-1} RT_1 \left(\beta^{\frac{m-1}{m}} - 1 \right) = \int_1^2 v dp$$

$$L_{c,s} = c_p T_1 \left(\beta^{\frac{\gamma-1}{\gamma}} - 1 \right) = \int_1^{2,s} v dp \leftarrow L_w = 0 \text{ perché cassa chiusa.}$$

Le integrazioni sono diverse, in particolare:

$$\int_1^2 v dp > \int_1^{2,s} v dp \rightarrow L_c - L_w > L_{c,s}$$

A parità di pressione, il volume nella trasf reale è sempre maggiore del volume nella trasf isentro.



perdite $\rightarrow T$ aumenta } V aumenta
 $p = \text{cost}$ }

$$\int_1^2 v dp > \int_1^{2,s} v dp$$

Ricavo quindi il lavoro di compressione:

$$L_c = L_{c,s} + L_w + \underbrace{\left(\int_1^2 v dp - \int_1^{2,s} v dp \right)}_{L_{c,R}}$$

$L_{c,R}$
 = lavoro di controcompressione =
 lavoro che deve fare in
 più rispetto alle perdite,
 causate dall'aumento di
 volume, dovuto alle perdite stesse

N.B. $L_{c,R}$ tende a zero tmt
 più β tende a 1 (β piccolo) ✓ rendom.
 opp. quando il volume non dipende
 dalla temperatura (es. liquido $\rightarrow L_{c,R}=0$)
 $\rightarrow \eta_c = \eta_{c,s} \rightarrow$ rendom politropico \Rightarrow
 chiamato anche rendom idraulico)

N.B. gas $\eta_c < \eta_{c,s}$

18/10/10

Espansione adiabatica

Simile alla compressione

$$Q_e = 0 \quad \Delta E_{c,g}, c_f = 0$$

1° Princ (forma euloriana): $L_i = \Delta i = c_p \Delta T$

Turbina: $L_i < 0$ (lavoro fatto dal fluido)

$$(L_i) = -L_i = -\Delta i = -c_p \Delta T$$

Lavoro
 di turbina
 = lavoro di
 espansione

(13)

$$L_t + L_w = \int_{u_1}^{u_2} v dp \quad \rightarrow \quad \int_{u_1}^{u_2} v dp > \int_{u_{1s}}^{u_2} v dp$$

$$L_{t,1s} = \int_{u_{1s}}^{u_2} v dp$$

quindi $L_t = L_{t,1s} - L_w + \left(\int_{u_{1s}}^{u_2} v dp - \int_{u_{1s}}^{u_2} v dp \right)$

$$L_R > 0$$

= lavoro di recupero

un po' delle perdite
vengono recuperate;
durante l'espansione
il mio volume è
leggerm. > da qd che
avrei se le perdite
mi ci fossero

N.B. β piccolo opp
liquido incomprensibile
 $\rightarrow L_R \rightarrow 0$

Debbiamo però reintrodurre le variazioni di energia cinetica nel nostro discorso!!!

Introduciamo prima le GRANDEZZE TOTALI / D'ARRESTO

immaginiamo un fluido che si trasforma senza scambio calore
e senza scambio lavoro -

$$\rightarrow Q_e = L_i = 0 \quad (\text{es. ugello opp. corrente libera})$$

fluido leggero (gas, ms H_2O)

$$\text{ms comp. centrifughi} \quad (\text{riferim. fissa}) \rightarrow \Delta E_g = 0 \quad \Delta E_{cf} = 0$$

Per qst flusso

$$\boxed{\Delta i + \Delta E_C = 0}$$

$$\frac{i_1 - i_{1s}}{2} = \frac{C_2^2 - C_1^2}{2} \rightarrow i_2 - i_1 + \frac{C_2^2 - C_1^2}{2} = 0 \rightarrow i_2 + \frac{C_2^2}{2} = i_1 + \frac{C_1^2}{2}$$

$$i + \frac{C^2}{2} = i^0 \quad \text{entalpia totale} \quad (\text{qd che ho all'inizio } i_1 \text{ anche alla fine})$$

e il valore a cui giungerebbe i se se andasse a zero \rightarrow entalpia d'arresto

$$i = i^0 \text{ se } C = 0$$

N.B. arresto adiabatico e senza scambio di lavoro

(l'entalpia tot si conserva se non c'è lavoro, se no lavoro = variat. di i^0)

N.B. gas perfetto ideale $i = C_p T$

$$\left(T^0 = T + \frac{C^2}{2C_p} \right)$$

$$i^0 = C_p T^0 \quad \text{dove } T^0 \text{ temp. totale} \\ (\text{d'arresto})$$

45

Le grandezze tot si ponono servire in funz. del m° di Mach:

$$M = \frac{c}{c_{s \text{ suono}}}$$

$$c_{s \text{ suono}} = c_s = \sqrt{\gamma \frac{p}{\rho}} = \sqrt{\gamma R T}$$

dipende da p e ρ
per un gas
ideale dipende
da T

$$T^o = T + \frac{c^2}{2C_p} = T \left(1 + \frac{\frac{c^2}{2} M^2}{\frac{\gamma-1}{2} R T} \right) = T \left(1 + \frac{\gamma-1}{2} M^2 \right)$$

$$p^o = p \left(1 + \frac{\gamma-1}{2} M^2 \right)^{\frac{1}{\gamma-1}} \quad \text{isentropica}$$

$$L_{v \nu} = 0 \rightarrow p^o = \text{cost}$$

$$L_{v \nu} > 0 \rightarrow p^o \downarrow$$

24/10/10

Usiamo le grandezze tot per:

- servire il lavoro nelle turbomacchine ($\Delta E_c \neq 0$)

- servire la portata che passa in una data sezione

Lavoro nelle turbomacchine $\rightarrow \Delta E_c \neq 0$

D'ipotesi:

- moto stazionario

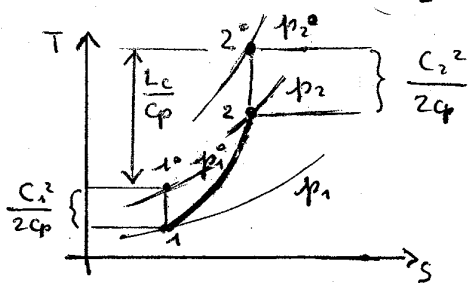
- gas perfetto (vole lo stesso discorso per le vapore) $\rightarrow \Delta E_g \approx 0$

- riflusso fermo $\rightarrow \Delta E_{cg} = 0$

- macchina adiabatica

COMPRESSORE:

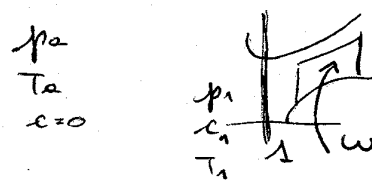
$$L_c = C_p (T_2^o - T_1^o) + \frac{C_2^2 - C_1^2}{2} = C_p (T_2^o - T_1^o)$$



Compressore:

può avere aria frena o pamb., Tamb.;
il fluido deve scorrere per entrare
nel compressore \rightarrow alla bocca del
compressore il fluido sarà $T_1 \neq 0$,
 p_1 , T_1

Nel passare da 1amb ad 1,
il fluido non scambia calore
né lavoro e in 1° approssimazione
possiamo dire che non ci saranno
perdite.



117

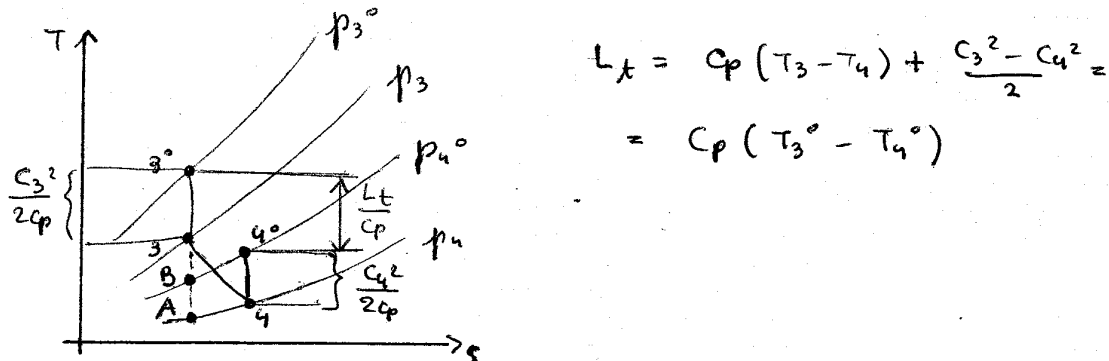
$$T_2^\circ = T_1^\circ + \frac{L_e}{C_p} = T_1^\circ \left(\frac{p_2^\circ}{p_1^\circ} \right)^{\frac{K-1}{2}} \quad \text{dove}$$

tipicamente progettiamo T_2° , T_1° , T_1 → reazione T_2

$$L_e = C_p (T_2^\circ - T_1^\circ) \quad \text{vale sempre!}$$

Punto di vista Total-to-Total
spostandosi da 1° a 2°

TURBINA:



Ingresso: situaz. simile al compressore → interessa 3°

quid fluido entra in turbina, la turbina fa accelerare la corrente → p_f scende; poi pale che raccolgono en. cinetica (trascurando le perdite)

uscita: descono diverso; dipende da tipo di turbina e un po' che ne facciamo:

caso a) turbina scaricata nell'ambiente (p_a) a spessore $p_f = p_a$
sposo quindi che il lavoro ideale è il massimo lavoro che otterrei partendo da p_3° ed espandendo fino a p_f
qui c'è un pt di vista Total-to-Static ($3^\circ \rightarrow A$)

Per della perdita di en. detta "perdita pur energia cinetica da scarico" (tutta l'en. ^{cinetica} del fluido all'uscita è en. persa).

caso b) se valle della turbina c'è qualcosa, per es. un'altra turbina → en. cinetica all'uscita della 1a turbina non va persa! → ci interessa 4° all'uscita della 1a turbina, ma 4° !!! La turbina seguente parte da 4°
→ pt di vista Total-to-Total ($3^\circ \rightarrow B$)

(19)

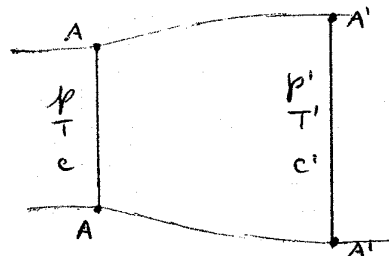
Portata

Ipotesi:

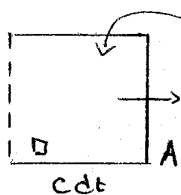
- flusso stazionario

- flusso unidimensionale

individua un'area del flusso (sezione di area A)

tutte le grandezze sono le stesse su tutta l'area
e la velocità è \perp a qst areaSe cambiamo di sezione in realtà \vec{v} non è \perp all'area
ma noi ipotizziamo cambiom. di area molto lento

Calcoliamo la portata attraverso un'area:

In un tempo dt, tutte le particelle che
stanno dentro cdt passeranno attraverso A,
quelli che stanno fanno no.Portata in volume: $V = Q = cA$ Portata in massa: $m = \rho c A$ Se portata c'è che p, c, T non sono cost, ma evolvono $\rightarrow m$ sono note

Alternativa: scrivere la portata in funz delle grandezze totali:

$$\begin{array}{l} \xrightarrow{\text{opp}} p^*, T^*, \rho \\ \text{opp. } p^*, T^*, M \end{array} \left. \right\} 4 \text{ casi}$$

$$\text{opp. } \begin{array}{l} \xrightarrow{\text{opp}} p^*, \rho^*, \tau \\ p^*, \rho^*, M \end{array} \left. \right\}$$

Dati:

$$p, T, c, \rho = \frac{p}{RT}, A$$

posso quindi calcolare:

$$\tau^* = \tau + \frac{c^2}{2\rho}, \quad p^* = p \left(\frac{T^*}{T} \right)^{\frac{1}{\gamma-1}}, \quad \rho^* = \frac{p^*}{R T^*}$$

2.1

In un ugello, se il flusso è isentropico, $p^*, \rho^* = \text{cost} \rightarrow$ unica variabile è $\frac{p}{p^*}$.

$$\text{Gas perfetto : } \frac{\frac{p^* A}{\sqrt{R T^*}}}{\sqrt{\frac{p^*}{\rho^*}}} = \frac{\frac{p^* A}{\sqrt{R T^*}}}{\sqrt{M^2}}$$

Poniamo legare $\frac{p}{p^*}$ al m^* di Mach:

$$\frac{p}{p^*} = \frac{1}{\left(1 + \frac{\gamma-1}{2} M^2\right)^{\frac{\gamma}{\gamma-1}}} \quad \text{ma sostituire qst sarebbe un casino!}$$

Strada alternativa:

$$m^* = \rho c A = \frac{p}{R T} \cdot M \sqrt{R T} \cdot A$$

$$T = \frac{T^*}{1 + \frac{\gamma-1}{2} M^2}, \quad p = \frac{p^*}{\left(1 + \frac{\gamma-1}{2} M^2\right)^{\frac{\gamma+1}{\gamma-1}}}$$

$$\text{quindi } m^* = \frac{p A}{\sqrt{R T^*}} \sqrt{\gamma M^2} = \dots$$

$$m^* = \frac{p^* A}{\sqrt{R T^*}} \sqrt{\frac{\gamma M^2}{\left(1 + \frac{\gamma-1}{2} M^2\right)^{\frac{\gamma+1}{\gamma-1}}}}$$

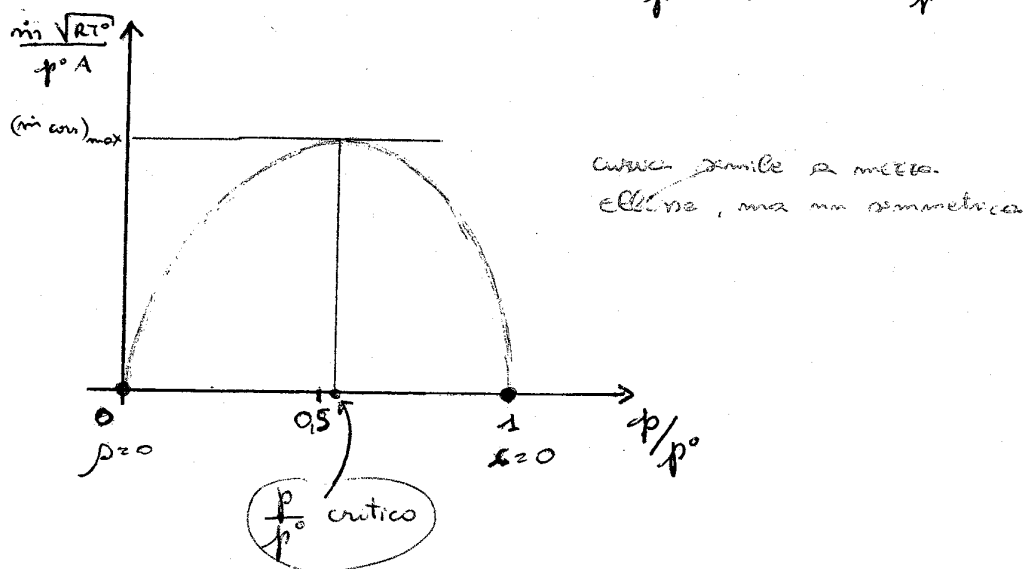
espressione alternativa
dell'altra

N.B. se metto $\frac{p}{p^*}$ al posto di $R T^*$ posso usare qst formula anche con un gas non perfetto.

$$\text{Portata corretta} = \frac{m^* \sqrt{R T^*}}{p^* A}$$

da sapere se
memorizzarla

da disegniamoci in funz di $\frac{p}{p^*}$ (N.B. $0 \leq \frac{p}{p^*} \leq 1$)



(23)

125/10/10

STUDIO DEGLI UGELLI

Ugello = condotto a pareti ferme e sezione variabile

↑
nel tempo
(non si
muovono)

↑
nello spazio
(lungo la lung.
dell'ugello)

es.



ugello convergente divergente

le pareti non si muovono $\rightarrow L_i = 0$ (no organi mobili)

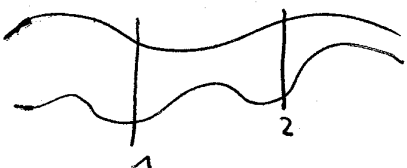
Ipotesi:

- ugello adiabatico $\rightarrow Q_e = 0$
- moto stazionario (nt cambia nel tempo)
- moto unidimensionale (in ogni sezione le varie grandezze sono tutte uguali)
- flusso reversibile a meno di urti
(urti \leftrightarrow compressioni dopo che flusso supersonico)

Scopo degli ugelli è quell' di ottenere variaz. di en. cinetica grazie a variaz. di en. termica:

- ugelli effusori $T_p \downarrow \quad V \uparrow$
- ugelli diffusori $T_p \uparrow \quad V \downarrow$
 - \hookrightarrow subsonico: divergente
 - \rightarrow subsonico
 - \rightarrow sonico
 - \rightarrow supersonico

Nel caso di flusso stat. la portata che entra dev' essere uguale alla portata che esce. Quindi, in un ugello, se prendo due sezioni 1 e 2 la stazionarietà implica che la portata che passa nella sezione 1 è la stessa che passa nella sezione 2.


 $m_{1,i} = m_{2,i} \rightarrow$ La portata è la stessa in tutte le sezioni;
 \rightarrow La portata in un ugello è costante nello spazio e nel tempo
 \uparrow se flusso stazionario (25)

Perché è così?

- Ci mettiamo a dx del pt critico $\rightarrow p_t = p_v$
flusso subsonico \rightarrow no urti \rightarrow adiabatico
flusso entra e poi esce dall'ugello e basta.
Un caso subsonico non può essere discontinuo di pressione
 $\rightarrow p$ di uscita è necessariamente uguale a quelli dell'ambiente
in cui usciamo (se p diverse ci sarebbe un rimbalzo da parte
di quelle flusse e quindi le due p diventano uguali)
- Ora però non può continuare a sx del pt critico
se infatti, in opt p_t , $p_t = p_v \rightarrow M=1$
che però non è una condiz. raggiungibile in opt tipo di ugello!

$$c \uparrow M \uparrow p \downarrow T \downarrow$$

a opt variaz. corrisponde un diverso comportam. di p_c ,
infatti:

$$c \uparrow M \uparrow p \downarrow T \downarrow \begin{cases} p_c \uparrow \text{ se } M < 1 & A\downarrow \\ p_c \downarrow \text{ se } M > 1 & A\uparrow \end{cases}$$

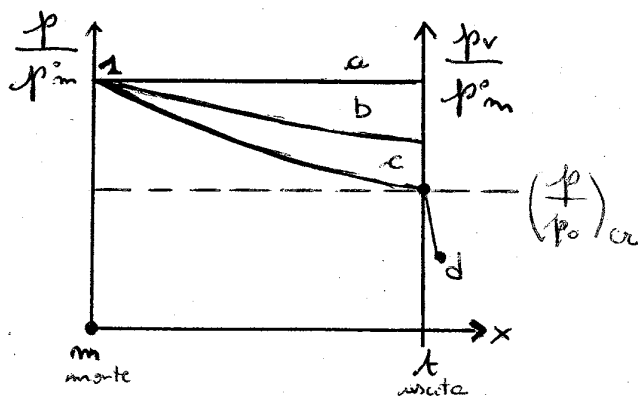
ma $= p_c A$ uguale in tutti i punti!

$$\text{se } \begin{cases} p_c \uparrow \rightarrow A\downarrow \\ p_c \downarrow \rightarrow A\uparrow \end{cases}$$

Quindi dopo $M=1$ ($M>1$) bisogna di $A\uparrow$, ma
no ho un convergente, non un divergente!!

N.B. otteniamo $M=1$ nel pt critico $\rightarrow A_t$

Se abbassiamo p_v le particelle accelerano verso l'uscita
ma il segnale che davanti c'è al resto non riesce
a raggiungere oltre A_t (segnale contrarrente più lento della
corrente stessa) \rightarrow quelli che fanno a volte non va a
influenzare quelli che succede prima dell'uscita dell'ugello



a: due ambienti uguali
 \rightarrow non cambia mt.

d: la p varia fino dall'ugello

(27)

Se $\frac{p_v}{p_m^o} \leq \left(\frac{p}{p^o}\right)_{cr}$ → l'ugello si dice critico:

$$p_t^o < p_m^o$$

$$M \leq 1 \quad (M_t = 1)$$

$$p_t = p_{cr} = \left(\frac{p}{p^o}\right)_{cr} \cdot p_m^o$$

$$m = m_{cr} = \frac{p_m^o \cdot A_t}{\sqrt{R T_m^o}}$$

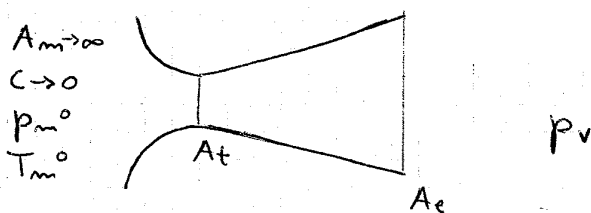
f(1)

funz. del mach
Qnd M = 1

Ugello convergente divergente

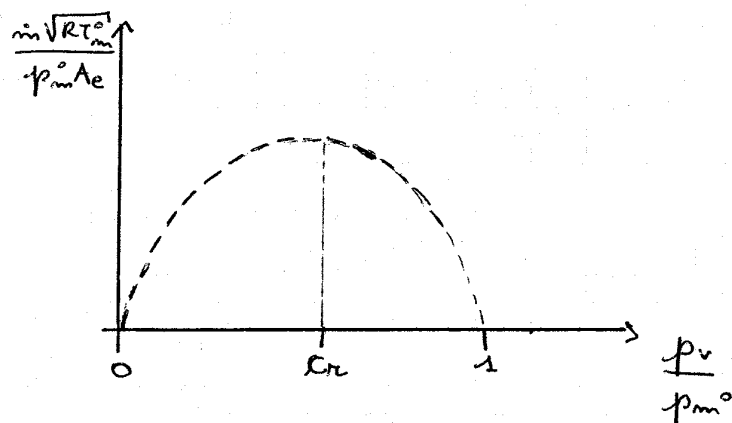
(ugello di De Laval)

28/10/101



flusso per accelerare:

- se subsonico → convergente
- se supersonico → divergente ($\rho_c \downarrow \Delta T$)



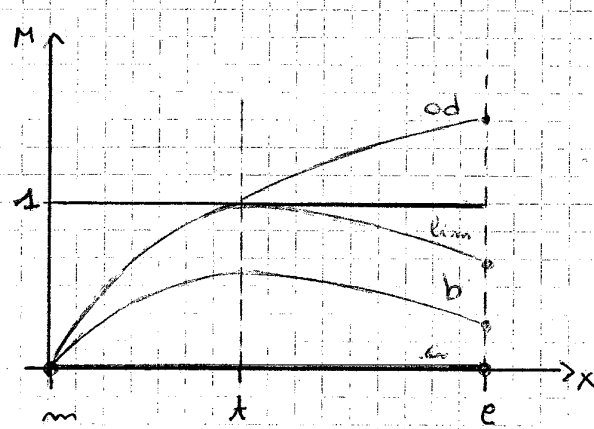
Se $p_v = p_m^o$
 $T_v = T_m^o$
 $p_v = p_e$
 ↓
 curva blu giusta

Ipotesi:

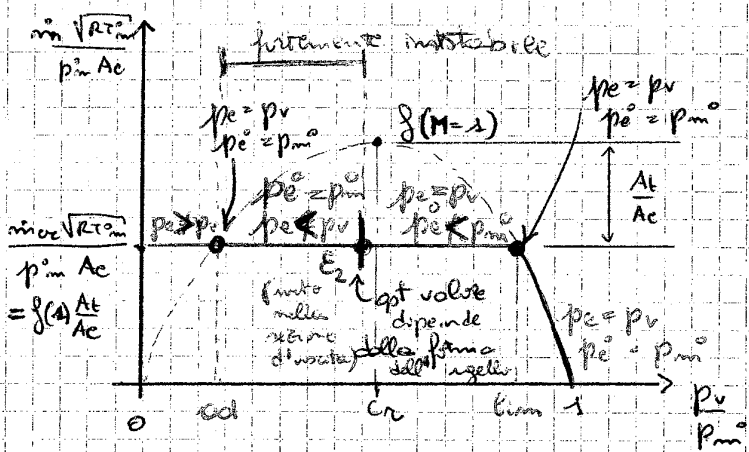
- moto stazionario
- moto unidimensionale
- flusso adiabatico
- flusso reversibile, se meno di crit

$$L_i = Q_e = 0 \rightarrow T_m^o = T_t^o = T_e^o \quad (T^o = \text{cost})$$

29



Portata:



A valle del pt lim, qualunque cosa incida il segnale non riesce a uscire oltre la sezione di gola \rightarrow portata (nel convergente \rightarrow in tutto l'ugello) non può più cambiare ed è fissata al valore critico dell'ugello che è semplicemente convergente. $\Rightarrow p_e \neq p_v$
 $p_e^o \neq p_m^o$

In realtà c'è un altro valore che coincide con qll a campana, ed è il pt di adatt.:

$$\text{no anti: } p_e = p_v$$

$$p_e^o = p_m^o$$

flusso revers.

flusso adattato
($p_v = p_e$)

gola sonica \rightarrow

portata della curva a campana

portata della curva orizzontale

(qll critica)

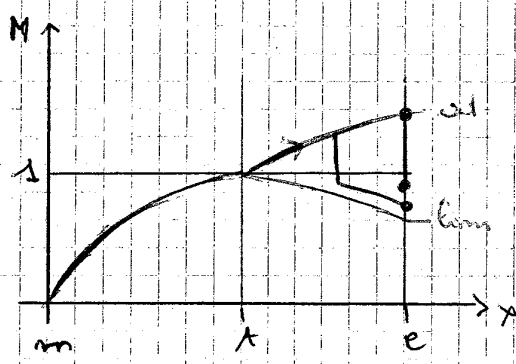
solamente il pt lim ed il pt di od soddisfano tutte e 3 le condizioni.

$$\text{m}_{cr} = \frac{p_m^o A}{\sqrt{R T_m^o}} f(M=s)$$

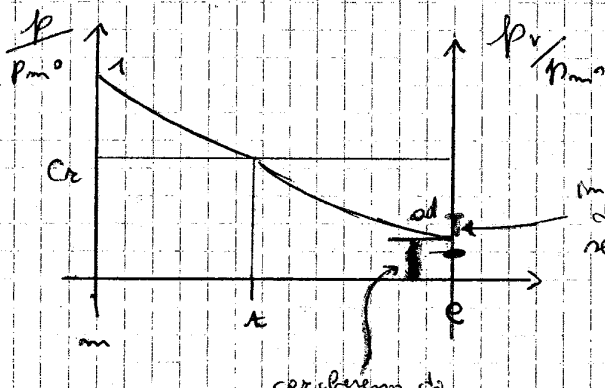
31

- Situz. particolare:

verso avviene nella sezione di uscita
(valore E_2 nel foglio delle "dissidenze")

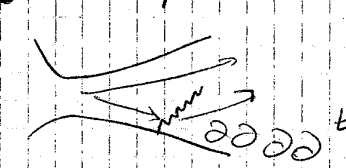


- Se $p > p_{ad}$ → moto fermo dell'ugello
- se $p < p_{ad}$ → espansione fermo dell'ugello } $p_e \neq p_v$



cercheremo di funzionare qui
(max acceleraz.
e poche perdite)

In qst tratto, si segnala da un'onda d'urto obliqua giù - smettere di reggere le pareti → zona di vertice



Situazione da evitare
(spinta assimmetrica, straz.
instabile → vibrazioni
distruttive)

Così troviamo i pt lum e ad?

Basta egualare m della curva a campana con mcr

$$m = \frac{p_e = m A_e}{\sqrt{R T_e = m}}$$

$$\frac{2\gamma}{\gamma-1} \left[\left(\frac{p_e}{p_m^0} \right)^{\frac{2}{\gamma}} - \left(\frac{p_e}{p_m^0} \right)^{\frac{2(\gamma-1)}{\gamma}} \right] = m_{cr} = \frac{p_m^0 A_t f(1)}{\sqrt{R T_m^0}}$$

$$\Rightarrow m_{cr} = \frac{p_e}{p_m^0} \rightarrow 2 \text{ soluzioni}$$

$$\begin{cases} p_e > p_v \rightarrow p_{lm} \\ p_e < p_v \rightarrow p_{ad} \end{cases}$$

Qst equaz va risolta imponendo $\frac{p_e}{p_m^0} = x$ e procedendo per tentativi.

- Se regole adiabatica, reversibile $\Rightarrow \dot{m}_1 = \dot{m}_2$

Si riduce a scrivere:

$$\frac{p_1^\circ A_1}{\sqrt{R T_1^\circ}} g(M_1) = \frac{p_2^\circ A_2}{\sqrt{R T_2^\circ}} g(M_2)$$

\rightarrow posso calcolare con varie M il valore dello scorrere

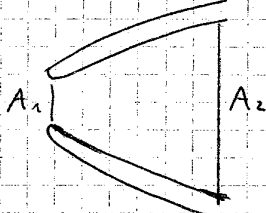
$$\text{se } p_1^\circ = p_2^\circ, T_1^\circ = T_2^\circ \Rightarrow A_1 g(M_1) = A_2 g(M_2)$$

Diffusori (subsonici) (es. da $M=0,8$ a $M=0,3$)

$C \downarrow p \uparrow M < 1 \rho \downarrow A \uparrow$

Servono per rallentare un flusso \rightarrow converte en. cinetica in en. meccanica

Sono un divergente



Ipotesi:

- flusso stazionario
- " unidimensionale 1D
- " adiabatico $Q_e = 0$
- " reversibile $L_w = 0$

Quindi:

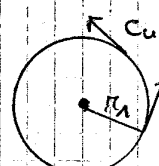
$$\dot{m}_1 = \dot{m}_2 \Rightarrow A_1 g(M_1) = A_2 g(M_2)$$

Negliamo un'esperienza del lavoro che presiede della T e che mette in gioco solo i valori di V .

Portiamo dall'eq. del momento angolare.

Caso semplificato:

Flusso che arriva in una certa sezione tutto allo stesso raggio r_s e che ha una vel tangenziale c_{us} uguale in tutti i pt.



$1 \text{ kg de area distribuita sulla circonf.}$

$$\text{coppia} \quad M = \frac{dk}{dt}$$

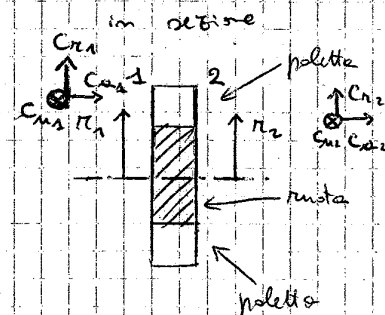
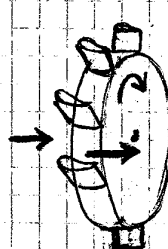
Newton \Rightarrow

$$M = \frac{dk}{dt}$$

Applichiamo ora tutto qst.

Supponiamo una paleottura mobile
che ha la vel ang con cui qst sta

(qui possiamo intro-
gorando)



(suppongo che lo
flusso arrivi tutto allo
stesso raggio r_s , trascur-
ando il fatto che le
giri arrivi in po.
al motto è un po'
all'estremità della
paletta)

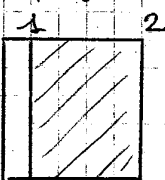
\vec{C}_1 ha 3 componenti:

- oriale C_{as}
- radiale C_{rs}
- tan C_{us}

idem per \vec{C}_2

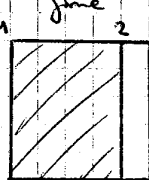
Teorema della q.c.m. in forma "enlarged":

inizio



$m_1 dt$
massa
che sta
per entro

fine



$$M =$$

$$\frac{K_{dim} - K_{fin}}{dt}$$

$m_2 dt$

(34)

4/11/10

Li può essere scritto anche senza far comporre le T.

Scegliamo un riferimento solidale alla girante \rightarrow riferimento rotante

Riferimento rotante \rightarrow per me le palestelle non si muove $\rightarrow L_i = 0$

$$L_i = C_p (T_2 - T_1) + \frac{w_2^2 - w_1^2}{2} + \frac{-u_2^2 + u_1^2}{2} = 0$$

↑
 misura eng
 la stessa temp.
 (anche se cambia
 riferimento)

↑
 $w =$ vel
 relativa
 dell'aria
 rispetto allo
 amb. fijo

↑
 $u = w_r$
 (en. potenziale
 legale al campo
 di forze centrifughe)

$c =$ vel. assoluta

$w =$ vel. relativa (alle palete)

$u =$ vel. di palete

$$\vec{c} = \vec{w} + \vec{u}$$

$$L_i = 0 = \frac{C_2^2 - C_1^2}{2} - \frac{w_2^2 - w_1^2}{2} + \frac{u_2^2 - u_1^2}{2} \quad (\text{sottraiamo i } 2 L_i \text{ trovati})$$

$$L_i = C_2 C_{u2} - C_1 C_{us} = \frac{C_2^2 - C_1^2}{2} - \frac{w_2^2 - w_1^2}{2} + \frac{u_2^2 - u_1^2}{2}$$

Compressori $\rightarrow L_i > 0$

$$u_2 > u_1 \quad \text{e/o} \quad C_{u2} > C_{us}$$

$$\downarrow$$

$$u = w_r$$

$$\downarrow$$

$$\text{macchina}$$

$$\text{centrifuga } (r_2 > r_1)$$

$$\downarrow$$

$$\text{se } r_1 = r_2 \\ (\text{macchina omiale})$$

es compressore spinge l'aria nel senso in cui si muovono le palete.

Se $C_2 > C_1 \rightarrow$ compressore può dare lavoro

$$\rightarrow u_2 > u_1 \quad \text{e/o} \quad w_2 < w_1$$

Turbine $\rightarrow L_i < 0$

$$u_2 < u_1 \quad \text{e/o} \quad C_{u2} < C_{us}$$

$$\text{macchine}$$

$$\text{centrifughe}$$

$$(r_1 > r_2)$$

$$\text{macchine che}$$

$$\text{rallentano}$$

$$\text{la componente}$$

$$\text{tan. della vel.}$$

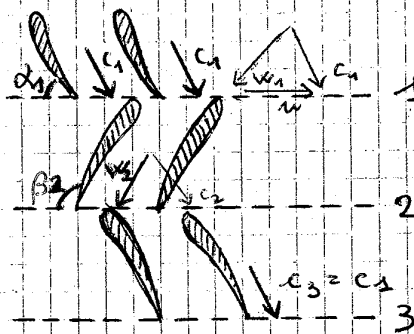
$$\downarrow$$

$$\text{es turbine a gas}$$

[Ci sono anche turbine centrifughe (es turbine a vapore)
 ma qui c'è dovuto alla difficoltà di macchine grande
 potute facendo passare dal centro della macchina.]

39

Sarà la forma delle palette a dettare le varie velocità.
Meremo α_1, β_2 cm grandezze di rigenerazione (perché angoli costruttivi)



- α_1, β_2 direz. fina
- $\rightarrow \alpha_1, \beta_2$ angoli costruttivi
- w_1, c_2 direz. dipendente dalle condiz. di funzionam.

IGV = Inlet Guide Vane \rightarrow palettatura di guida all'ingresso
che orienta la corrente con la quale il compressore.

La vel. in uscita dalla IGV sarà // alla palettatura della IGV.

α_1 è un angolo costruttivo (è finito da sola geometria della macchina)

La palettatura rotante vede arrivare w_s (e' in movimento)

\rightarrow palettatura dev' essere fatta in modo da non avere uno
stallo \rightarrow inadempie piccole nei confronti di w_s

N.B. w_s non è fina (dipende da α_1, c_1) $\rightarrow \beta_2$ non è un
angolo costruttivo! dipende dal funzionam. della macchina.

vel di rotazione portata

Palettatura:

- ingresso $\rightarrow \pm$ direz. di w_s

- uscita \rightarrow esattamente diretta da w_s ($1\text{--}2^\circ$ di differenza)
(β_2 angolo costruttivo)

Lo statore che c'è dopo vede arrivare un fluido con vel c_2
 \rightarrow avrà un bordo d'attacco $\pm 1\text{--}2^\circ$ da c_2 , ma bordo d'uscita
più o meno in ruote (no indicat. del triangolo di vel.)

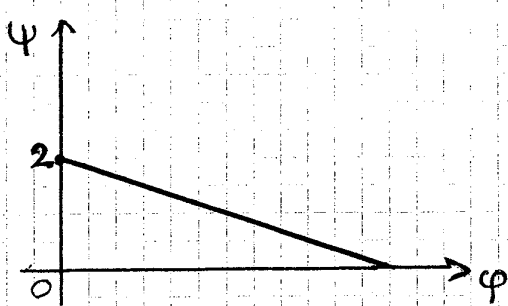
MA Compressore \rightarrow macchina multistadio:

stadio del 1° stadio serve da IGV del 2° stadio, ...

\rightarrow si può chiedere che $\beta_3 = \alpha_1$

Le palete tendono a prendere una vel inclinata e a reportarla
omiale; e sono abbastanza simmetriche tra di loro.

(44)



Introduciamo le perdite! (Le dipende anche dal rendim.)

Possono essere viste come somma di 2 contributi:

$$\zeta_x = \zeta_{x\text{ distribuite}} + \zeta_{x\text{ concentrate}}$$

dove agli altri si parla (perdite termodin.)

dipendono dal quadrato della portata
→ dal quadrato della velocità del flusso
(parabola ζ_x)

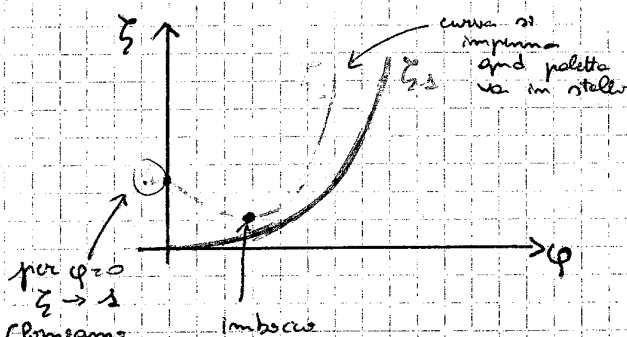
dovute agli effetti di sua (dopo bordo di uscita opp per stallo)

deve anche ζ_x per imbocca scorrere dei palettaggi

cresce man mano che l'imboccia dei palettaggi diventa più stretto

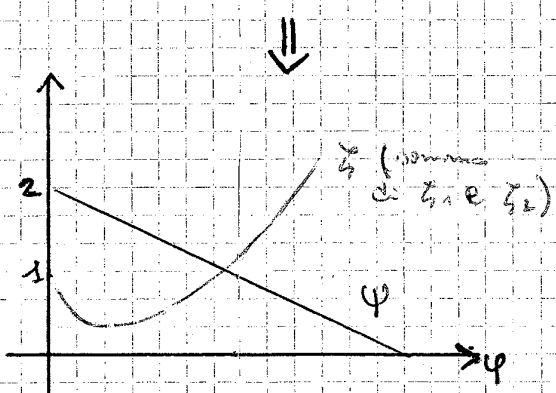
Definiamo:

$$\zeta = \frac{\zeta_x}{u^2/2} = \zeta_1 + \zeta_2 \quad (\text{coff adimension.})$$



per $q=0$
 $\zeta \rightarrow s$
(forniamo energia al flusso all'imbocco ma non c'è portata → il flusso non se ne va → energia sprecata)

Mettendo tutto assieme



u3

$$\bullet u = wr = \frac{\omega \Delta}{2} = \frac{2\pi m \Delta}{2} = \pi m \Delta$$

↑
m° di giri

$$\text{Quindi: } \frac{m \Delta}{\sqrt{RT_1}} \propto \frac{u}{\sqrt{RT_1}} \propto \frac{1}{\sqrt{\tau}} \propto \frac{1}{\sqrt{2}}$$

Quindi specificare un valore di τ^* vuol dire specificare un valore di m° di giri corretto! (ad ogni curva ne corrisponderà un'altra)

$$\bullet m_i = (P_s)(c_s \sin \alpha_s)(A_s) = \left(\frac{P_1}{R T_1} f_s(M_s) \right) \cdot \left(\frac{c_s}{M_s} M_s \right) \cdot (k \Delta^2)$$

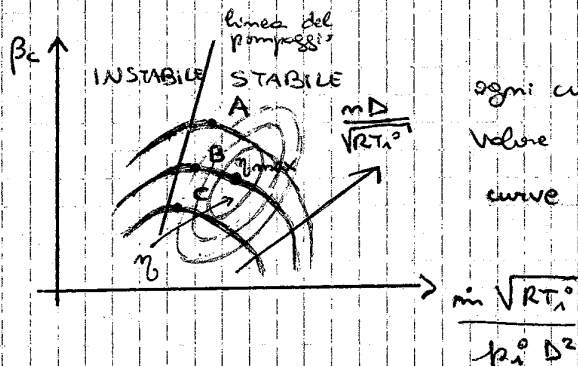
$$M_s = \frac{c_s}{\sqrt{RT_1}} = \frac{c_s}{m \sin \alpha_s} \frac{m}{\sqrt{RT_1}} = M_s(\varphi) \frac{m}{\sqrt{RT_1}} = M_s(\varphi, \tau)$$

$$\text{Quindi: } m_i = \frac{P_1}{R T_1} \underbrace{g(\varphi, \tau)}_{f_s(M_s)} \underbrace{M_s(\varphi) \cdot k \Delta^2}_{\frac{m}{\sqrt{RT_1}}} \underbrace{\sin \alpha_s}_{\frac{m}{\sqrt{2}}}$$

$$\frac{m_i \sqrt{RT_1}}{P_1 \Delta^2} = \text{kg}(\varphi, \tau) \frac{m}{\sqrt{RT_1}} \quad \varphi = k g(\varphi, \tau) \cdot \frac{\varphi}{\sqrt{\tau}}$$

Anegati φ, τ abbiamo un'unica determinata m_i

11/11/10



ogni curva vale per un preciso
valore di τ , cioè per un preciso $\frac{m \Delta}{\sqrt{RT_1}}$
curve isarendimento

MAPPA (MANOMETRICA)
DEL COMPRESSORE

el crescere della portata, cresce il m° di Machi \rightarrow quindi siamo a
 $M=1$ le curve diventano verticali (comprendibilità)
A punto d' φ , el crescere di $\frac{m \Delta}{\sqrt{RT_1}}$ \rightarrow la portata cresce
 \rightarrow pt A più a dx di B.

A, B, C, avendo lo stesso φ , avrebbero lo stesso rendimento
 \leftarrow (una sola curva nel grafico accanto)

Nella realtà, xo ci sono effetti legati a Re e M (perdite
aggiuntive qnd Re molto basso e M elevato) \rightarrow A e C hanno

↓ ↓ ↓
porta bassa porta alta rendim. < di B
del grafico del grafico

(45)

Se siamo nel pt stabile, se un disturbo esterno fa aumentare la portata, il compressore manda un po' più alta ad una minore ma pura borsa di qst richiesta dal circuito (p_2 diminuisce) \rightarrow l'aria che esce dal compressore si trova davanti una p_2 più alta della sua \rightarrow frena \rightarrow la portata diminuisce \rightarrow porta al pt di funzionamento di nuovo nella condiz di equilibrio.

Se la portata fosse diminuita, il compressore avrebbe dato una p_2 più alta di qst dell'ambiente di scarico \rightarrow il flusso avrebbe accelerato e la portata sarebbe aumentata.

Nel pt instabile invece ci sarebbe una reazione opposta \rightarrow al compressore, se aumentasse la portata, potrebbe tenere il pt di funzionamento stabile. Il perpb è se la portata diminuisse, perché si può arrivare al **POMPAGGIO** (inversione della direz del flusso). In realtà per portate negative c'è un altro pt di funzionamento instabile \rightarrow il compressore oscillerebbe tra qst e pt instabile \rightarrow un po' sopra e un po' compresa e prima e poi si rompe.

Altro pt di vista:

si mette a dx del max, chiede al compressore una p_2 sempre più alta; qst ce la fa (diminuendo la portata) fino al pt di max; poi però non ce la fa più e va in pompaggio.

Se compressore associato ad una turbina (turbogetto) è corall esterna in solita \rightarrow pt di stabilità si fa del max. Lma però in genere ci si mette a dx del pt di max (convenzione e/o sicurezza) \rightarrow si considera la linea del pompaggio coincidente con i massimi.

Stallo rotante

altro fenomeno di instabilità che si verifica quando andiamo troppo a sx o troppo a dx (rendimento creste) \rightarrow \approx perdite per scorretto imbarco delle palette.

1° principio in forma mista applicato al rotore, ma riferimento rotante

$$L_{1,2} = \frac{P_2 - P_1}{\rho} + \frac{w_2^2 - w_1^2}{2} - \frac{U_2^2 - U_1^2}{2}$$

per lo stator:

$$L_{1,2} = \frac{P_3 - P_2}{\rho} + \frac{c_3^2 - c_2^2}{2}$$

\approx mm compreno anide

Il guadagno di pressione ($P_3 > P_2 > P_1$) è ottenuto grazie ad una diminuzione di velocità ($c_3 < c_2$, $w_2 < w_1$)

N.B. non è così mai compreso centrifughe ($w_2 > w_1$) \rightarrow la p sale perché le forze centrifughe fanno calore (tipico $w_2 = w_1$)

Springendo il fluido all'esterno e comprimerlo.

In opt caso \rightarrow no limitaz. del rapporto di compressione (≈ 8)

In un compressore anide \rightarrow limitaz. a β ($= 1,3$)

Vediamo di capire meglio opt discorso:



$p_2 > p_1 \rightarrow$ particelle spinte da sx verso dx, ma rallentano ($w_2 < w_1$) fino a qd $w_2 = 0$ e $p_2 = p^*$ per es.

Il prob si ha nello stato limite!

A parete le particelle sono ferme per forza \rightarrow no energia cinetica per vincere il gradiente di pressione. (Se gradiente di p troppo alto \rightarrow anche le particelle dello stato lim. ce lo fanno perché vengono trascinate dalle particelle che le sorpassano).

Le particelle che non ce lo fanno si fermano, fino a qd si può avere un inversione del flusso \rightarrow si crea una rea virtuale.

Qst fenomeno dipende anche dal tipo di superficie che stiamo considerando
compressore \leftarrow palette \rightarrow superfi. curve ed in moto
corrug + tamburo \rightarrow superfi piene e forme

(1)



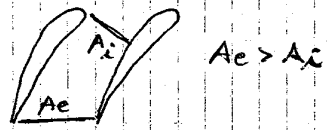
Lo stallo in opt 2 superfici dipende dal guadagno di p che noi imponiamo rispetto alla vel che avevamo all'inizio.

$$\epsilon_p = \frac{p_2 - p_1}{\frac{1}{2} \rho (w_1^2)}$$

(49)

Tipi comuni di forma delle palete di un condotto crescente \rightarrow il flusso si rallenta e aumenta da a_e a a_c

$\Rightarrow \beta$ limitato da $M \leq 1$ perché di stallo

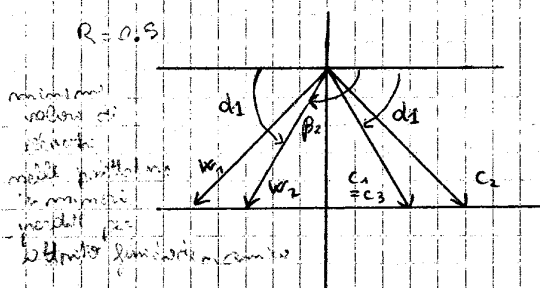


Cos'abbiamo costruito uno stadio di compressore?

Vogliamo che sia il rotore che lo statore diano il max consentito per avere il maggiore β_c possibile.

\Rightarrow facciamo triangoli di velocità simmetrici, così $|w_2 - w_1| = |c_3 - c_2|$

$$R = 0.5$$



$$d_1 = \alpha + \beta_2$$

$$|c_1| = |w_2|$$

$$|c_2| = |w_1|$$

$$c_3 = \beta_3$$

guadagno di entropia statica
nel rotore

235
Begoni

Possiamo quindi scrivere con GRADO DI REAZIONE $R = \frac{i_2 - i_1}{L_c} = \frac{i_2 - i_1}{i_3^0 - i_1^0}$

$$R = \frac{i_2 - i_1}{L_c} = \frac{i_2 - i_1}{i_3^0 - i_1^0} = \frac{T_2 - T_1}{T_3^0 - T_1^0} = \frac{T_2 - T_1}{T_2^0 - T_1^0}$$

Usiamo ora il 1° principio applicato al rotore in un riferimento rotante

$$Q + K = c_p (T_2 - T_1) + \frac{w_2^2 - w_1^2}{2}$$

$= 0$

(rotore) (rotante)

Quindi: $R = \frac{w_1^2 - w_2^2}{(c_2^2 - c_1^2 + w_1^2 - w_2^2)}$

con triangoli di vel. simmetrici $\rightarrow R = \frac{1}{2}$

Possiamo ora usare un'approssimazione:

flusso incompressibile ed isentropico

$$T_{ds} = 0 = \dot{m} - \dot{v} dp \rightarrow \Delta i = \dot{v} \Delta p$$

$$\{ i_2 - i_1 = \dot{v} (p_2 - p_1)$$

$$\{ i_3^0 - i_1^0 = \dot{v} (p_3^0 - p_1^0) \approx \dot{v} (p_3 - p_1)$$

$$R = \frac{p_2 - p_1}{p_3 - p_1}$$

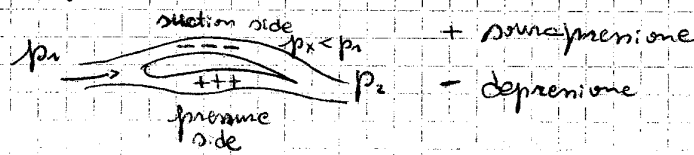
$$M_3 = M_1$$

\rightarrow se $R = \frac{1}{2}$ il salto di p viene riportato uniformemente tra rotore e statore e qst è il max che riesci ad ottenerlo.

(2) Stallo sulle palette:

più complicato d'oltre su una parete piatta perché c'è anche

l'effetto della curvatura delle palette.



differenza $p_2 - p_1$ vs misurata tra p_x e $p_2 \rightarrow p_2 - p_x > p_2 - p_1$
e qui aggrava la situaz. se il flusso deve recuperare la sua
pressione, perché c'è una più alta probabilità di stallo.

In termini quantitativi qui viene riconosciuto del coefficiente di diffusione

$$\Delta = \left(1 - \frac{w_2}{w_1} \right) + \frac{|w_{12} - w_{21}|}{w_{12} C/S}$$

momento
scambiato

$w_1 = w_2$

$w_2 = w_s$

$p_2 > p_1$

forza esercitata dalle
palette \rightarrow coppia \rightarrow momen.
del momento angolare

se è troppo elevata
 $\rightarrow \beta_c$ troppo elevata
 \rightarrow separazione del flusso
 \rightarrow minima velocità

SOLIDITÀ
DELLA SCHIERA
 $c =$ corda
 $S =$ piano



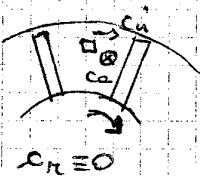
(a partire da F
 $c \uparrow \rightarrow \Delta p \downarrow$

$S \propto \frac{1}{n^2}$ palette

\rightarrow meno palette ci sono e più forti sono le forze)

18/11/10

EQUILIBRIO RADIALE



una particella d'area A ha una vel. radiale
 v_r ed una vel. tan. v_t , a prescindere dalla
rotaz. della palettatura opp. no

la particella è soggetta a delle forze, le quali determinano l'accel.
che la particella subisce e ne veniamo la velocità

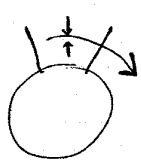
$$\frac{dv_r}{dt} = 0 = \sum F_r \quad \begin{matrix} \text{forze lungo} \\ \text{la direz. radiale} \end{matrix}$$

$v_r \geq 0$ \uparrow moto

Im un complesso aereo $\rightarrow \Sigma F_r \neq 0$

la particella però non si muove liberamente! È obbligata a
ruotare all'interno della macchina \rightarrow ci dovrà ruotare
 \rightarrow trascinare ad esca

53



la pressione obbliga la particella a ruotare.

Siamo obbligati ad avere $\omega \rightarrow$ se no comprenere non comprome.

da pres di vel tan co dice che la p min e uniforme (e \rightarrow ai raggi esterni e minore ai raggi interni)

Noi vorremmo che il fluido subisse la stessa comprensione ed avrei tutto alla stessa pressione; la p che ci interessa e la $p^* \rightarrow$ dovremmo cercare di avere $\frac{dp^*}{dr} = 0$

Dobbiamo progettare un comprenore che soddisfi qst.

\rightarrow si adottano delle palette SVERGOLATE

Supponiamo la. condizione:

- il fluido subisce delle particelle di variaz del raggio

$$\text{dev' essere lo stesso} \rightarrow \frac{dL_i}{dr} = 0$$

$$\text{cioè } \frac{d[\omega(c_{rz} - c_{ri})]}{dr} = 0 \rightarrow r \cdot \Delta c_i = \text{cost} \quad (w = \text{cost})$$

$\uparrow dr$ \hookrightarrow triangoli di velocità diversi

$$u = rw$$

\hookrightarrow palettature diverse.

Accanto a qst condiz., facciamo alcune ipotesi:

- all' ingresso del comprenore, vogliamo T^* uniforme $\rightarrow \frac{dT^*}{dr} = 0$

$$\text{e } p^* \text{ uniforme} \rightarrow \frac{dp^*}{dr} = 0$$

- le variaz. di entropia (e quindi le perdite) devono

essere uniformi. distribuite lungo il raggio $\rightarrow \frac{T ds}{dr} = 0$

$$T_2^* = T_1^* + \frac{L_c}{C_p} \rightarrow \boxed{\frac{dT_2^*}{dr} = 0}$$

uniforme \uparrow
uniforme

in qnti avremo che $\frac{dp_{rc}}{dr} = 0$ perché:

$$\frac{T ds}{dr} = \frac{dp_{rc}}{dr} = 0 \rightarrow \frac{dp_{rc}}{dr} = 0$$

$$\text{e quindi} \boxed{\frac{dp^*}{dr} = 0}$$

fluido con
condiz. totali
uniformi
all' uscita

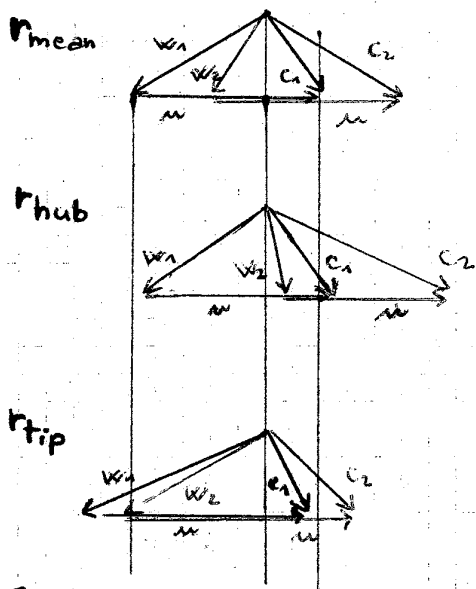
Ora dobbiamo determinare ω devono essere i triangoli di vel più addossare la nostra condiz.

Per farlo partiamo dall' eq. dell' entropia:

$$\frac{T ds}{dr} = C_p \frac{dT}{dr} - v \frac{dp}{dr} = C_p \frac{dT^*}{dr} - \frac{d(c_{rz}^2 + c_{ri}^2)/2}{dr} - v \frac{dp}{dr}$$

(55)

Assumiamo che, al regime medio, i triangoli di vel sono simmetrici.



$$u = c_{u1} \quad \text{et } w \uparrow$$

$$r c_{u1} = b$$

$$w = \frac{u}{\pi} = \text{const}$$

$r_t = 1$
 $r_{mean} = r_h$
 $r_h = 0,5$
 $(r_{mean} \text{ è } \frac{3}{4} \text{ del diametro})$

$$r_{tip} = \frac{2}{3} r_{mean}$$

$$u \downarrow \rightarrow u_h = \frac{2}{3} u_m$$

$$r_{mean} c_{u1m} = r_{tip} c_{u1h} \approx r_{tip} c_{u1t}$$

$$\frac{c_{u1h}}{c_{u1m}} = \frac{1}{r_{tip}/r_{mean}} = \frac{3}{2}$$

$$r \uparrow \frac{r_t}{r_m} = \frac{4}{3}$$

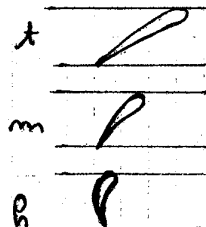
$$c_{u1} + c_{u2} = \frac{3}{4} c_{u1m}, \quad u_t = \frac{4}{3} u_m$$

- (b) v_t molto verso dx, e poco verso dx
- (f) v_t molto verso sx, e poco verso sx

$$|v_{uz}| = u - c_{u2}$$

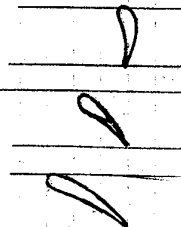
Le palette dove avere quindi un profilo che cambia

rotore



↑ palette devante
meno curva
e più inclinata

stator (c3 = c1)



Le pale, tipicamente, risultano molto svergolate (rotante con un angolo di 60°) \rightarrow quindi palette sottoposte a forze centrifughe \rightarrow sollecitazioni difficili da sopportare, palette spesse \rightarrow pesanti, ...

Idea di Jend -> flusso tutto stante φ^0

su raggi esterni $\varphi >$ \rightarrow v assoluta deve essere più bassa.

$$p_{tip} > p_{hub} \rightarrow V_{tip} < V_{hub}$$

\rightarrow bisogna deformare molto i triangoli di vel verso dx o verso sx, perché ca è la stessa.

\rightarrow si pensano adottare criteri di svergolam. che consentono di avere $c_{a,hub} > c_{a,tip}$ $\rightarrow \frac{dc_a}{dr} < 0 \rightarrow$ svergolam. minore di prima e cioè sufficiente

(54)

AVVIAMENTO COMPRESSORI ASSIALE MULTISTADIO

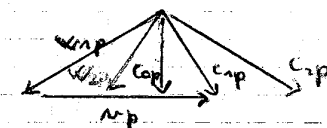
Sia i primi che gli ultimi stadi lavorano male \rightarrow un compromesso
il fluido \rightarrow il fluido fonda a mettersi in moto.

Fluido arriva da un'altra macchina con una velocità

$w = w_p$ (quindi per cui il compr è stato progettato)

ma fluido non sta ancora percorrendo il compressore $\rightarrow m < m_p$

Disegniamo il triangolo di vel. a progetto a raggio medio
(triangolo simmetrico)



$$m = \rho c A$$

I stadio (primi stadi in generale)

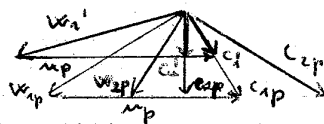
la p del fluido è quella dell'ambiente $\rightarrow p = p_p = p_{ambi}$

$A = \text{fima}$ (sempre la stessa)

se $m < m_p$ deve faticare essere $c_e < c_p$

\rightarrow il triangolo di vel non sarà quello disegnato sopra.

Ci ha direz fima (IGV)

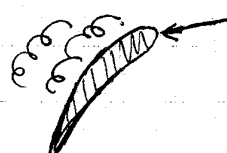


\rightarrow ci deve sottrarre α_i ip
(avviom. meccanico già avviato,
manca solo quel term din.)

$\hookrightarrow w_i'$ molto inclinata

\rightarrow STALLO POSITIVO

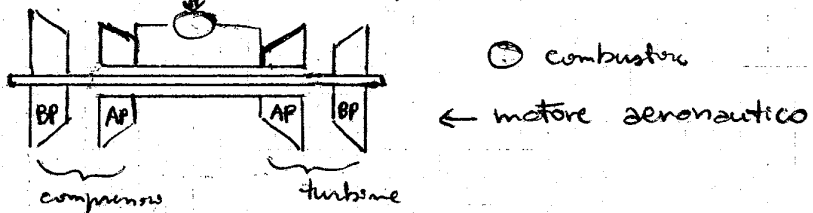
nel doppio



\rightarrow compressore funzione male ai primi stadi all'escursione

3) In tutti i compressori multistadio si ha un compressore ^{centrato} multi-albero → si separano gli ultimi stadi dai primi stadi.

→ compressore da bassa p_r , mosso da una turbina di bassa p_r .
 " " alta p_r , " " " " " alta p_r



Supponiamo che tutti gli stadi abbiano gli stessi triangoli di vel e profilo.

Se stanchiamo centrifugam. AP e BP

→ compri. di AP tende a motore più veloce. } all'avviamento.
 " " BP " " " " " lenta

BP) primi stadi → stallati sul dorso → grande resistenza

→ il compressore rallenta → all'avviamento (drag)

AP) ultimi stadi → stallati sul ventre

→ minore resistenza all'avviamento → accelerazione

N.B. qui avviene centrifugam., ma stiamo noi a varcare la vel degli alberi.

→ BP) $m \downarrow$ } W_1 tende comunque a riportarsi nella direz. desiderata.
 AP) $m \uparrow$

Poi riposa lo stallo e lo si resta cont. da lì in poi.

COMPRESSORI TRANSONICI

W_1 + alto (W₁ + bassa) → qui limita il max. $p_{c,r}$ se

W_1 non può superare un certo valore

Nella rete possiamo avere $M_{rel,f} \approx 1.5 > 1$

tipicam. quindi $M_{rel,m,h} < 1$

Bisogna controllare le posz. delle onde d'urto che si vengono a creare.

Le pale sono poco curvate (quasi rettilinee)

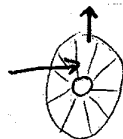
→ l'onda d'urto si viene a creare sul ventre delle pale.

(61)

COMPRESSORI CENTRIFUGHI

22/11/10

Stoccam. vengono prima dei compressori orodali
flusso entra orodale ed esce radiale

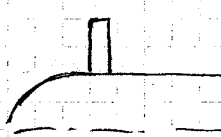


Comprensione avviene grazie alle forze centrifughe \rightarrow no probbl.
perdite. (Inizialm. scendim era conosciuta troppo poco e i
compr. orodali funzionavano male, poi però i compr. orodali
hanno preso il sopravvento)

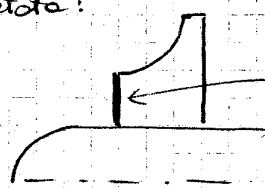
Bisogna considerare

- portata e ingombro frontale

\rightarrow e punto di portata:



compr. orodale



compr. centrifugo

flusso entra
solo da qui

- rendimento

\rightarrow sono più o meno equivcl. (leggero vantaggio per l'orodale)

- P.C.

macchine multistadio \rightarrow orodale equivcl. se centrifugo



risulta conveniente il
compr. orodale

tranne qnd:

- ingombro frontale non conta

(es elicottero che ha motore in fusoliera)

- portate piccole (portate in volume)

\rightarrow % dei compr. orodali peggiorano perché altezza
delle palette piccole \rightarrow diventano preponderanti gli
effetti di attrito laminare \rightarrow perdite



pochi perdite
viscose



tante perdite
viscose
(in $< 5 \div 10$ kg/s
indicativamente)

63

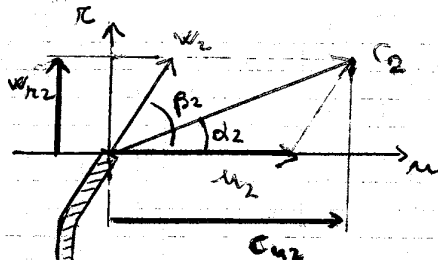
Per semplicità ipotizzeremo un flusso senza pre-girante (tipo IGV)
 → se davanti al compressore non c'è niente → $c_{u1} = 0$

$$L_c = u_2 \cdot c_{u2}$$

Triangolo di velocità nella sezione 2:



$$\vec{c}_2 = \vec{w}_2 + \vec{u}$$



α_2 dipende dalle condiz. di funzionam.
 β_2 angolo costitutivo (varia in uscita aria-vel nel bordo di uscita, piccolo angolo di differenza)

$$w_{r2} = w_2 \sin \beta_2$$

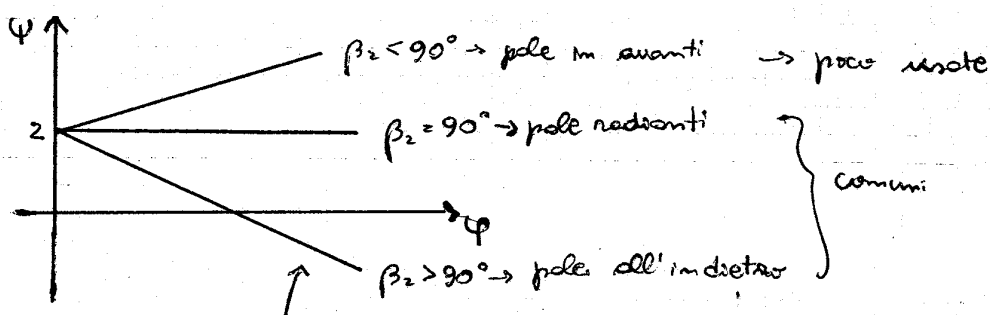
$$c_{u2} = u_2 + w_{u2} = u_2 + w_{r2} \cos \beta_2 = u_2 + \frac{w_{r2}}{\sin \beta_2} \cos \beta_2$$

Quindi:

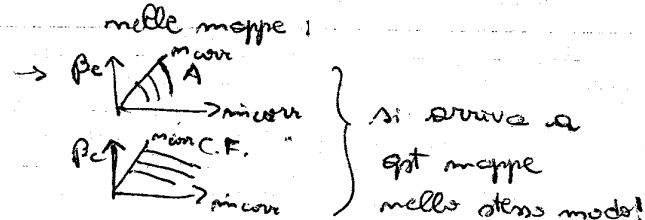
$$L_c = u_2 (u_2 + w_{r2} \cotan \beta_2)$$

$$\text{deg un coeff di portata } \varphi = \frac{w_{r2}}{u_2} = \frac{c_{u2}}{u_2}$$

$$\left(\varphi = \frac{L_c}{u_2^2} \right) = 2 (s + \varphi \cotan \beta_2) = \text{coeff di pressione}$$



nei compressori
 qst curve sono molto
 più rapide che nei
 comp. radiali (in
 cui la curva è
 orizz. opp. solo
 leggerm. inclinata)

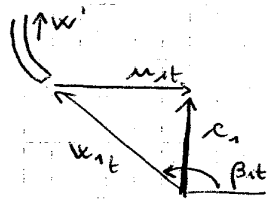


Pale in avanti:

Ora β_c più alto → a parità di β_c tot fa meno
 scatti se pale in avanti; ma vel. c_2 in uscita risulta
 molto grande. Diffusore riduce c_2 ad un valore accettabile
 ma in qst caso ci sono tnt perdite e il diffusore è ingombro (65)

la palete prende w_1 inclinata rispetto alla linea orizzontale e β_{st} deve raddrizzare $\rightarrow w'$ (una più componente tan)

29/11/10



qst tipicam. comporta una riduz. di velocità
poniamo imporre che la componente orizzontale
sia la stessa per w_1 e w' $\rightarrow w' = w_1 \sin \beta_{st}$

aria rallenta $\rightarrow p \uparrow \rightarrow$ pericolo di stallo \approx)

$$C_p = \frac{p' - p_1}{\frac{1}{2} \rho w_1^2}$$

se trascuriamo i valori delle resistenze
ponive (L_w) una legge $p' - p_1$ alle
variaz. di vel relative

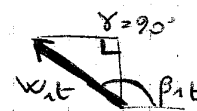
$$C_p = \frac{p' - p_1}{\frac{1}{2} \rho w_1^2} = 1 - \left(\frac{w'}{w_1} \right)^2 = 1 - \sin^2 \beta_{st} \rightarrow \sin \beta_{st} = \sqrt{1 - C_p}$$

$$\text{ex } C_p = 0,5 \rightarrow \beta_{st} = 135^\circ \text{ (valore max ammissibile)}$$

Poniamo dire che M_{max} $\xrightarrow[\text{determ.}]{} w_{1,t}$
 $C_{p,max}$ $\xrightarrow[\text{determ.}]{} \beta_{st}$

\rightarrow conosciamo 2 angoli e un lato del triangolo di vel, ol
quale, quindi, rimasta compitam. determinata

$c_1, w_{1,t}, w_{1,t}$ fissati!



Equat. della portata:

$$m = \rho_1 c_1 \pi (r_{1,t}^2 - r_{1,b}^2)$$

quindi $m \xrightarrow[\text{determ.}]{} r_{1,t}, D_{1,t}$

area di una
circonferenza

dato da condiz.
strutturali (albero
ha dimensioni
fisse!)

$$w_{1,t} = w_{1,t} \xrightarrow[\text{determ.}]{} w$$

[Assumiamo $\rho = \text{cost}$]

Ultima equat.:

$$L_c = \mu_2^2 \text{ (pole radiali)} \quad \text{quindi, moto } \beta_c \xrightarrow[\text{determ.}]{} L_c \Rightarrow r_2, D_2$$

$$\mu_2^2 = w^2 r_2^2$$

Considerat. aerodinamiche ($C_p, M_{1,t}$) determinano, assieme a m ,

D_1 e w ; β_c determina D_2

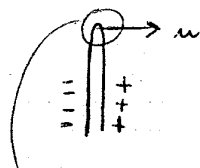
\uparrow
ingresso

\uparrow
uscita

(*)

(67)

E dove la palette finisce?



estremità
della palette

Li la p_f è la stessa da un lato e dall'altro \Rightarrow



Qst ha 2 conseguenze:

- 1) Li la corrente rallenta \rightarrow distacco da vena ($p_f \uparrow$ w_f)
 \rightarrow c'è rischio di stallo "u" e qst pericolo è tanto più grande qnt più grande è la differenza di p_f , cioè qnt minore è il n° di palette
- 2) un vde più $\frac{dp}{dr} = -2\rho w u$ (opposto al grad. di p), vale invece:

$$-\frac{dp}{dr} \frac{dr}{dr} = -2\rho w u \frac{dr}{dr} = \rho r \frac{dr}{dr} \frac{dw}{dt}$$



la particella tenderà a muoversi all'indietro, perché
Fa un più equilibrata dal gradiente di p
 \rightarrow moto di backslip di un certo angolo δ

tutte palette \rightarrow δ piccole ($\delta \propto \frac{1}{n^{\circ} \text{ palette}}$)

A volte si aggiungono palette nella parte esterna della girante (se le mettessi lungo tutto il raggio c'è una spina?)



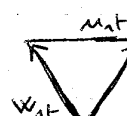
\rightarrow minor pericolo di stallo
e minor δ (ang. di backslip)

(*)

N.B. i vincoli sull'inducor possono essere attenuati mettendo una pregrinante che modifica la c_2 ($\approx 1GV$)



senza
pregrinante



con pregrinante

\rightarrow a punto di w_{lt} \rightarrow $w_{lt} \uparrow \rightarrow w_f \uparrow \rightarrow$ a punto di u_2 (e da lontano) \rightarrow dimensioni minori.

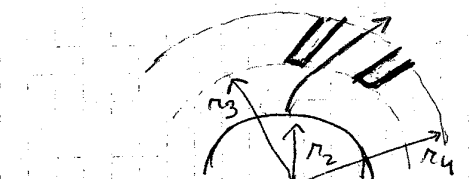
In realtà però se $c_2 > 0$ la cambia

(B) \Rightarrow usiamo palette all'incontro (c_2 più basso, finito c_3) \rightarrow comp.
più compatti; flusso axiale (aperto area d'aria); diffusore
palettato \rightarrow palette tendono a reindirizzare la corrente $\rightarrow c_4$,
 $d \uparrow$ (invece che $d = \text{cost}$), \rightarrow perdita di cr., $c_4 \downarrow \rightarrow W \downarrow$

\Rightarrow diffusore in 2 zone

1) non palettata \rightarrow rende la corrente subsonica (*) ($r_2 - r_3$)

2) palette in più ($r_3 - r_4$) \rightarrow in 2) riduce più velocità
di giri ma farebbe spontaneamente



(*) se le palette \rightarrow anti \rightarrow giri bassi
(perdite)

$d \uparrow$ quindi $\uparrow \rightarrow$ rallento, a punto di roggia, da più la corrente
(opp. rallento regolare e roggia <)

2/12/10

N.B. diffusore palettato:

$rc \sin \alpha \neq \text{cost}$; $rc \sin \alpha = \text{cost}$

$\sin \alpha \uparrow$ et a pari

Regolazione dei compressori

Impiego compressori:

- industriale \rightarrow compr. producono aria compressa e sono mossi da un motore (tipi com. elettrico)

- aeronautica \rightarrow 2 tipi di compressori:

- 1) turbomotori \rightarrow compr. mossi da una turbina; da cui
è interposto un combustore (gas caldi in turbina)
 \rightarrow lavoro mecc. per muovere il compr. + riserva di
energia per generare spinta; opp. turbina da
più lavoro del compr. \rightarrow si muore un fan o un'elica)

- 2) sovralimentaz. dei motori alternativi (turb.)

In quota il motore dà sempre meno potenza ($P \downarrow$)

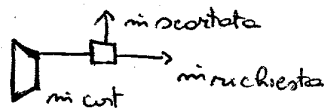
\rightarrow compressore davanti al motore \rightarrow restabilimento della

P che ha a quota zero opp. fino a P_0 (sovralimentaz.)
 \rightarrow no perdita di potenza, o addirittura ne ha di più

71

Regolazione industriale per riflusso

Compr. manda sempre la stessa m , e ne ho troppo, scarto la portata in eccesso a valle del compr.



basta spingere o chiudere una valvola, ma la potenza assorbita dal compr. è sempre la stessa \rightarrow consumo sempre grande Σ

il lavoro aumenta a portata di potenze (solo la portata utile)
 \rightarrow regolaz. semplice ma costosa \Rightarrow qst è la peggiore regolazione spionibile.

Regolazione industriale per tutto o niente (on/off)

Compr. funz. sempre nelle condiz. di progetto $\rightarrow m = \text{cost}$, ma ad intermittenza:

\uparrow
gl di max rendimento

es. 8 macchine invece di 10

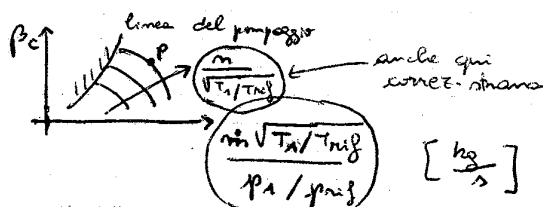
- \rightarrow faccio funz. il compr. solo per l'80% del tempo
- \Rightarrow ho solo bisogno di un selettore per accumulare la portata
- \Rightarrow qst è la migliore regolaz. possibile

Ci sono poi altri 4 tipi di regolaz. industriale:

- variaz. del colectam. delle pale

- In modo che il compr. fornisca il β che noi vogliamo con le m che vogliamo (es. 1GV all'avviamento)
 - \rightarrow è come avere un compr. diverso ad ogni istante
 - variaz. del m^* di giri \rightarrow facciamo girare più o meno velocemente l'motore
 - laminazione alla mandata
 - laminazione all'aspirazione
- } mettiamo una valvola per
} strutturare il flusso \rightarrow porta meno m

Bisogna determinare le nuove condiz. di funzionamento con gli ultimi 3 tipi di regolaz. \rightarrow nuovo pt di funz. sulla mappa del compressore

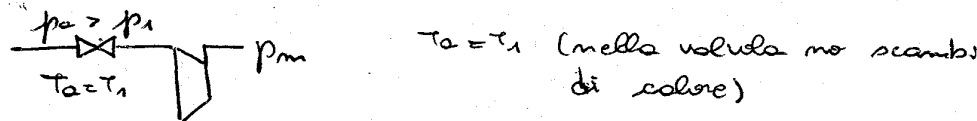


$T_1, p_1 \rightarrow$ all'ingresso del compressore

cambio i termini della correzione
 $(R$ è fissa \rightarrow non lo mettiamo;
 $T_2^0 = T_{amb} \rightarrow T$ statica \rightarrow lasciamo T_1
ma lo dovremo per una T di riferim.;
idem al den.; A resta qst \rightarrow non lo mettiamo)

(73)

3° caso: sommissione all'aspirazione



Servono ancora 2 condiz., la 3^a figura è che p_s è incognita!
cambiando p_1 , cambia anche $p_s \rightarrow$ cambia la densità e il compr. deve comprenderne di più (parte da p più bassa e deve arrivare alla stessa p_m), prima c'era solo l'effetto del compr. che comprime di più.

1) $M = m_p \rightarrow \frac{m}{\sqrt{T_1/T_{ref}}} = \frac{m_p}{\sqrt{T_a/T_{ref}}} \rightarrow$ i giri corretti non cambiano nemmeno in questo caso

2) La portata corretta non sono più quelle di p_m → dobbiamo valutare il rapporto tra β_c e la portata corretta per trovare la 2^a condiz.

$$\frac{\beta_c}{\sqrt{T_1/T_{ref}}} = \frac{\frac{p_m/p_1}{\sqrt{T_a/T_{ref}}}}{\frac{p_1/p_{ref}}{\sqrt{T_a/T_{ref}}}} = \frac{p_m/p_a}{\sqrt{T_a/T_{ref}}} = \frac{\beta_{cp}}{p_a/p_{ref}} = \frac{\beta_{cn}}{m_{ca}}$$

quindi $\frac{\beta_{ca}}{m_{ca}} = \frac{\beta_{cn}}{m_{cn}} = t$ quindi A ed N devono stare sulla stessa retta passante per l'origine.

$m_{ca} > m_{cn} \rightarrow A$ è a dx di N

(a punto di portata, il pt A ha una pressione p_s più bassa)

Possiamo fare un confronto dei 3 punti:

- in termini di lavoro richiesto (e quindi di potenza richiesta)

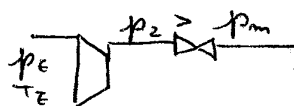
$$L_c = \frac{1}{m_c} \dot{q} T_1 \left(\beta_c^{\frac{r-1}{r}} - 1 \right)$$

trascurando un ottimo η_c → noi preferiamo il pt N ($\beta_c <$), poi viene il pt A (dove l'ammiraglia di meno all'aspiraz. che alle mandrie, a punto di portata) ed infine il pt M è il peggiore dei 3.

Ovviamente non è detto che io possa cambiare il modo di gestire del motore → se non posso, metto la valvola (preferibilmente all'aspiraz.)

(15)

2° caso: laminazione alla manata (m)



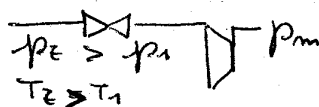
come per la regole. industriale:

$$1) m_{CM} = \frac{m \sqrt{T_E/T_{ref}}}{p_e/p_{ref}} = m_{CN}$$

$$2) m_{CM} = \frac{m_p}{\sqrt{T_E/T_{ref}}} = m_{CP} \sqrt{\frac{T_{ref}}{T_E}} < m_p$$

↑
effetto piccolo
(T varia di poco
e poi c'è la
radice) idem
premo.

3° caso: laminazione all' aspirazione (n)



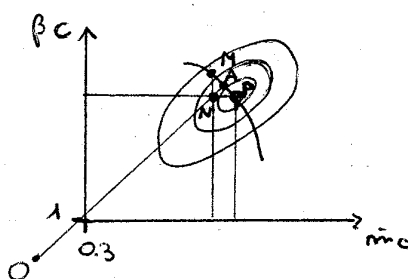
come prima ma se do qnt devi abbassare le $p_1 \rightarrow$ devo
procedere con per la regole. industriale:

$$1) m_{CA} = \frac{m_p}{\sqrt{T_E/T_{ref}}} = m_{CM}$$

$$2) \tan \alpha_A = \frac{\beta_{CA}}{m_{CA}} = \frac{p_m/p_1}{m \sqrt{T_E/T_{ref}}} = \frac{p_m/p_e}{\frac{p_1/p_{ref}}{m \sqrt{T_E/T_{ref}}}} = \frac{p_m/p_e}{m \sqrt{T_E/T_{ref}}} = \frac{\beta_{CN}}{m_{CN}} = \tan \alpha_N$$

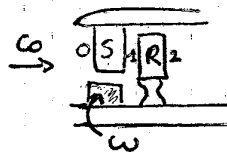
↑
 $\approx \tan \alpha_P \sqrt{\frac{T_{ref}}{T_E}}$

N.B. nelle mappe tipicam. non c'è l'origine! → bisogna andarsela
a cercare se serve!



N.B. tipicam P ha il max rendim. → devo fare in modo che il motore
dia il max di rendim. e minimo consumo alla quota di adattam.
(crucciera) → curve di rendim. saranno centrate nel pt P.

(M4)



Stato (o distributore):

$p \downarrow (T \downarrow)$ $c \uparrow$ con ugello diffusore

Rotore:

$$L_i < 0 \quad (L_t > 0) \quad c_b$$

opt si puo' ottenere in 2 modi:

- $p = \text{cost} \rightarrow W = \text{cost.} \quad (\text{no perdite})$
turbine ad AZIONE $R = 0$
 - $p \downarrow \quad v_r \uparrow$
turbine a REAZIONE
(es. ≈ compressori) $R \neq 0$
- $R = \text{grado di reazione}$

- * impianti di generaz di potenza (vapore), prima stadio: turbine ad azione, poi turbine a reazione
- * motori aeronautici: turbine a reazione

TURBINE AD AZIONE

Studiamo un solo stadio:

Ipotesi: moto permanente

flusso adiabatico

flusso unidimensionale $\rightarrow 1D$

flusso isentropico

$$c_a = \text{cost}$$

$$L_W = 0$$

Applicando il 1° principio al rotore in un riferimento rotante

$$L_i = 0 = \int_{1, \infty}^2 \omega dp + \frac{w_2^2 - w_1^2}{2} + \Delta E_{g, cf} + L_W$$

$\omega = \text{cost}$
fluidi leggeri, per ipotesi
macchina oriale

$$p_1 = p_2$$

$$\text{quindi } |w_1| = |w_2|$$

$$w = \sqrt{w_a^2 + w_u^2 + w_r^2}$$

$w_a = \text{cost}$
 $w_u = \text{cost}$
 $w_a = w_u$

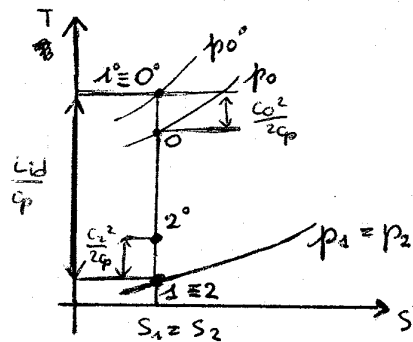
$$\rightarrow |w_1| = |w_2| \quad \text{vuol dire che } |w_u| = |w_u|$$

$$\begin{cases} w_u = w_u \\ w_u = -w_u \end{cases} \rightarrow \text{no lavoro} \quad (c_{u1} = c_{u2}) \quad L_t = 0 \quad //$$

Ag

Pt di vista: total - to - static (turbina isolata)

[qgl total - to - total scritto in qnt condiz vole s - mm ha senso calcolarlo, poiché tut il flusso è isentropico]



$$1 \equiv 2$$

ma velocità diverse
→ condiz. tot diverse

$$L_{id} = c_p (T_0^o - T_2)$$

$$L_t = c_p (T_0^o - T_1') \quad (1^o \text{ princ. tra } 0 \text{ e } 2)$$

da differenza fra i 2 lavori c'è l'en. cinetica di scarico:

$$L_{id} - L_t = \frac{C_2^2}{2}$$

★ 1° princ. fra 0 e 1:

$$L_i = 0 \quad (\text{stator} \rightarrow \text{fermo}) \rightarrow L_i = c_p (T_1^o - T_0^o) = 0 \rightarrow T_1^o = T_0^o$$

da cui $\delta^o \equiv 0^o$

⇒ vediamo che cosa non conta assolutamente! il lavoro lo prende da T_0^o e non da T_0 !!!

★ $1 \equiv 2 \rightarrow T_1 = T_2$

Quindi: $L_{id} = c_p (T_0^o - T_1) = \frac{C_1^2}{2}$ (en. cinetica)

per def differenza tra grandezze tot e grandezze statiche

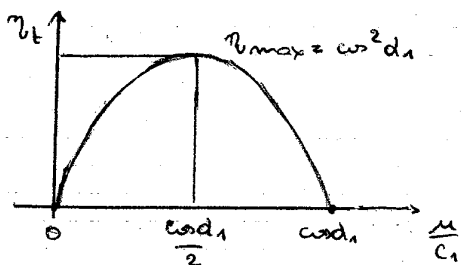
Possiamo da $0^o \equiv 1^o$ a 1 e produciamo en. cinetica (nello stator), nel rotore la trasformiamo in lavoro (ma non tutta, per le perte dell'en. cinetica di scarico)

$$L_t = \frac{C_1^2 - C_2^2}{2}$$

en. cinetica di scarico

In conclusione:

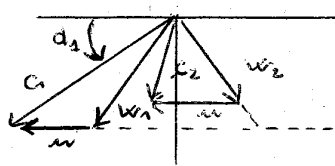
$$\eta_{bt} = \frac{L_t}{L_{id}} = \frac{2m (C_1 \cos d_1 - u)}{\frac{C_1^2}{2}} = 4 \frac{m}{C_1} \left(\cos d_1 - \frac{u}{C_1} \right)$$



η_{bt} dipende da qnt 2 termini

→ dobbiamo fare da d_1 il più piccolo possibile (però non possiamo scendere sotto i $20^o/30^o$, meno: aree di passaggio troppo strette)

(81)



Rimaniamo in pres di spalle simmetriche

$$\rightarrow \beta_2 = \pi - \beta_1$$

$$L_w > 0 \rightarrow w_2 < w_1$$

$$L_t = u(c_{w1} - c_{w2})$$

$$c_{w1} = c_1 \cos \beta_1$$

$$c_{w2} = w_{m2} + u = -(\varphi w_m) + u = -\varphi (c_2 \cos \beta_2 - u) + u$$

Quando: $L_t = u(s + \varphi)(c_1 \cos \beta_1 - u)$

$$L_{id} = \frac{c_{w1}^2}{2} = \frac{c_1^2}{2\varphi^2}$$

$$\eta = \underbrace{2(1+\varphi)\varphi^2}_{\text{nel calcolo}} \frac{u}{c_1} \left(\cos \beta_1 - \frac{u}{c_1} \right)$$

isentropico
qst e pari
a 2.

$$(1+\varphi)\varphi^2 < 2 \quad (\varphi, \varphi < s < \varphi \approx 0,96) \quad \begin{array}{l} \text{stato: espansione} \\ \rightarrow \text{parte delle} \\ \text{perdite vengono} \\ \text{recuperate} \end{array}$$

inoltre: no espansione
 $\rightarrow \varphi < q$

$$\eta_{max} \rightarrow \frac{u}{c_1} = \frac{\cos \beta_1}{2}$$

Quando: $c_{w2} > 0$

S' accettano perdite pur in condizioni di scorico un po' più grandi, qst cmq sono < di qll che si ottiene con una t2 oriale

Perdite:

- attrito

- tip clearance



Si vuol rendere qst spazio il più piccolo possibile e lo si vuole controllare durante il funzionamento (es dilatazioni, ...)

Configurazione multistadio

- es. turbine a vapore (da 10/50 bar a qfc 1000 → $\beta \approx 1000$)

→ 1 stadio solo non basta;

se $\beta_{\text{multistadio}} = 10 \rightarrow 3 \text{ stadi} \rightarrow 10^3$

- turbine aeronautiche (scorr: 1 bar, ingresso ≈ 40 bar)

→ discorsi meno sentiti.

(83)

Turbine a vapore

- stadi a soli da vel.
- stadi a soli d'ap.
- turbine a reazione

primo stadio \rightarrow perdite \rightarrow

per però recupero parte delle perdite

13/12/10

TURBINE A REAZIONE

$$p_2 < p_s \quad (\text{anche nel rotore c'è espansione})$$

1° princ. applicato al rotore, riferim. rotante:

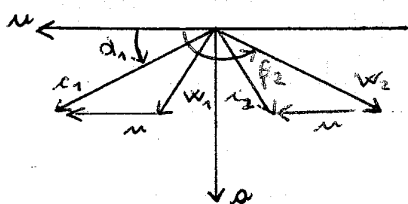
$$L_i = 0 = \int_{1'}^2 v dp + \frac{w_2^2 - w_1^2}{2} + (L_w)$$

$$\int < 0 \rightarrow \frac{w_2^2 - w_1^2}{2} > 0 \rightarrow |w_2| > |w_1|$$

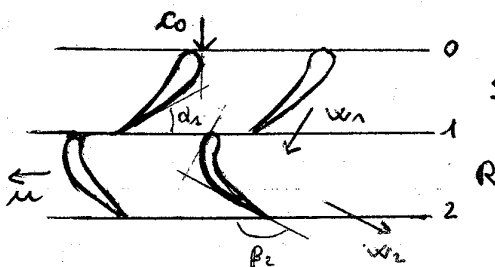
In particolare studieremo quel tipo di turbine a reazione
che ha triangoli γ simmetrici -

$$|c_{11}| = |w_1|$$

$$|c_{21}| = |w_2|$$



$$\vec{w} = \vec{u} + \vec{c}_2$$



α_1, α_2 angoli costruttivi

$$L_t = m(c_{11} - c_{22}) = m(2c_1 \cos \alpha_1 - u)$$

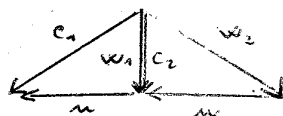
$$-c_{11} = c_1 \cos \alpha_1$$

$$-c_{22} = w_{22} = c_{11} - u = c_1 \cos \alpha_1 - u$$

l'ultimo termine è moltiplicato per 2 nelle turbine ad azione

85

$$\eta_{\max} \rightarrow C_{u2} = 0$$

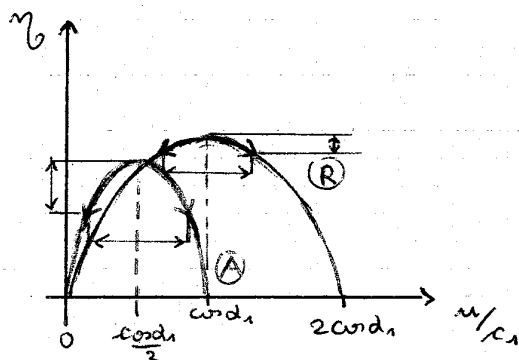


Unica perdita è l'energia cinetica da ocorrere
 $\rightarrow \eta_{\max} \approx \text{ha per } C_2 \text{ min} \rightarrow C_{u2} = 0$

$$\begin{aligned} L_t &= u^2 = c_1^2 \cos^2 d_1 \\ L_{id} &= \frac{c_1^2 + c_2^2 \cos^2 d_1}{2} \end{aligned}$$

$$\left. \begin{aligned} \eta_{\max} &\rightarrow \eta_{\max} = \frac{\cos^2 d_1}{1 + \cos^2 d_1} \\ \eta_{\max A} &= \frac{2}{1 + \cos^2 d_1} \end{aligned} \right\} > 1$$

$$\Rightarrow \eta_R > \eta_A \quad (\text{a punto di d1})$$



Turbine servomantiche:

ampio campo di funzionamento.
 \rightarrow userà $\frac{u}{c_1}$ diverso da quelli
 di progetto (a differenza
 di magnanti di generazione
 di potenza costante)

In campo servom. si
 usano turbine a reate.
 per 2 motivi:

① rendimento più alto

$$(\text{anche se } L_{tR} = \frac{L_t A}{2})$$

②

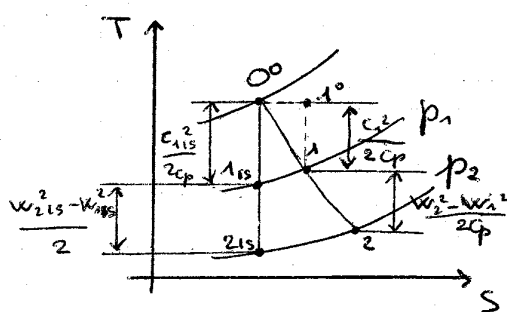
Se turbine a reate (max
 "ipotetico") il rendimento varia da
 poco spostandosi poco dal pt
 di η_{\max} .

Comportamento reale: (min insenatore piu)

$$\varphi = \frac{C_1}{C_{115}}$$

$$\varphi = \frac{w_2}{w_{215}} = \varphi$$

triangoli simili.



$$\frac{C_{115}^2}{2c_p} = \frac{C_1^2}{2\varphi^2 c_p}$$

$$\frac{w_{215}^2 - w_{115}^2}{2c_p} = \frac{w_2^2 - w_{15}^2}{2c_p}$$

\rightarrow da qui stesso ragionam. di prima

(84)

Regolazione delle turbine -

In campo servosterzo si regola tutto il gruppo compr.-turb.
a seconda di manetta e condiz. di vlo.

In campo industriale \rightarrow regolaz. turbine:

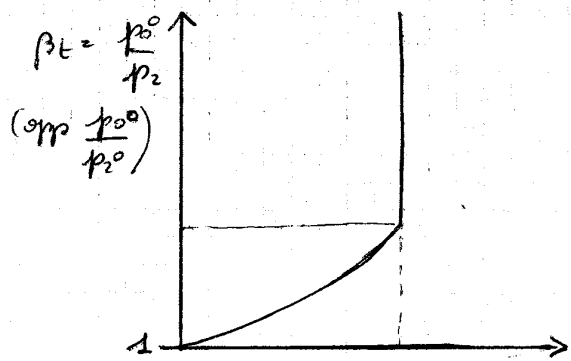
- 1) sparielizzazone \rightarrow si chiude uno dei buchi (o più di uno) che innestano aria in turbina \rightarrow si diminuisce nelle turbine a reazione: non è un equilibrio di p nelle pale del rotore \rightarrow Δ



- 2) valvola di riammissione a monte \rightarrow si diminuisce

Mappa della turbina

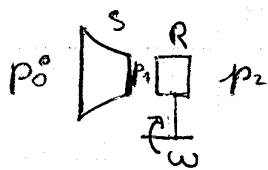
16/12/10



$$\beta_t^0 = \frac{p_2^0}{p_1} \left(1 + \frac{\gamma-1}{2} M_2^2 \right)^{\frac{2}{\gamma-1}}$$

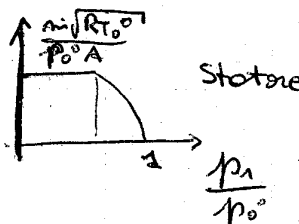
$$\frac{m \sqrt{RT_0}}{p_0^0 D^2}$$

Vediamo un singolo stadio di turbina ad azione

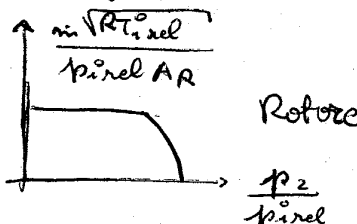
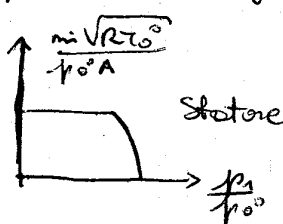


$$p_1 = p_2$$

Lo stator non è altro che un ugello con a monte la pressione p_0^0 e a valle la p_1



Turbina a reazione \rightarrow $\beta = \prod \beta_i$ dei singoli β dei vari stadi, ma grafico analogo.



(stessa m)

89

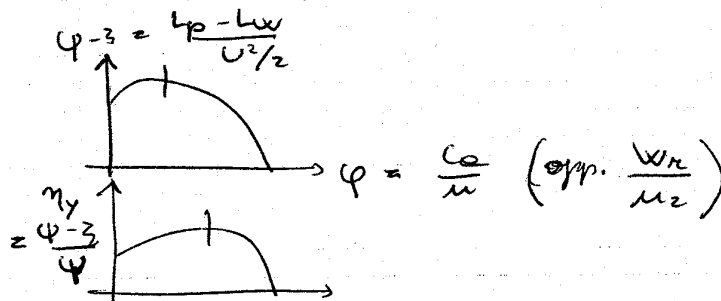
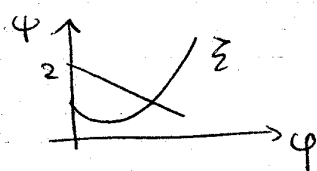
Macchine idrauliche

tralasseremo le turbine idrauliche (no impiego aerospaziale) e ci occuperemo di turbopompe (turbocompressori di liquido)

TURBOPOMPE

Discorsi analoghi ai compressori:

- tracce di vel.



Che cosa cambia è che:

ora la densità del liquido non varia e il liquido resta a volume cost. → non ci sono più da considerare effetti di compressibilità (ni corr, n° di giri corr, n° di Mach, ρ dipende da p e T, β che dipende da p, ...)

1 ingresso

2 uscita

1° principio in forma mista: ($L_i = L_p$)

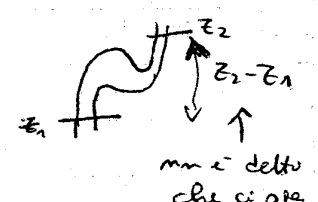
$$L_p = \int v dp + \Delta E_c + \Delta E_g + L_w$$

$$L_p - L_w = \underbrace{\frac{p_2 - p_1}{\rho}}_{\text{effetto utile}} + \underbrace{\frac{c_2^2 - c_1^2}{2}}_{9.81 \text{ m/s}^2} + \underbrace{\beta(c_2 - c_1)}_{\text{guarda la pompa da un riferim. fimo}}$$

$$\underbrace{\beta}_{v=\frac{1}{\rho}} = \frac{p_2 - p_1}{\rho} + \frac{c_2^2 - c_1^2}{2} + \beta(c_2 - c_1)$$

serve per aumentare:

- p
 - vel
 - quota
- } del fluido
(s > puro delle 3)



non è detto che ci sia

91

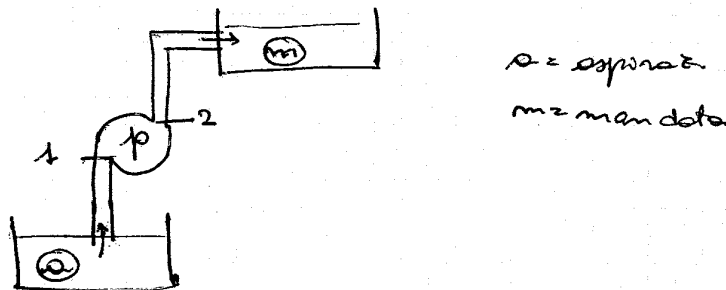
Il punto a $Q = \text{cost}$ stiamo su una parabola

$$\frac{H_u}{H_u^0} = \left(\frac{m}{m^0}\right)^2 \quad \text{perché} \quad \frac{H_u}{H_u^0} = \left(\frac{Q}{Q^0}\right)^2 \cdot \frac{Q^0}{Q} = \frac{m}{m^0}$$

In altri termini:

$$H_u = K(Q) Q^2$$

Come si collocia la mappa in un circuito?



1° passo tra α ed m

$$L_i = L_p = \frac{P_m - P_a}{\rho g} + \frac{C_m^2 - C_a^2}{2g} + g(\zeta_m - \zeta_a) + \underbrace{L_{w,i} + L_{w,ca} + L_{w,cm}}_{\text{perdote}} + \underbrace{L_{p,i}}_{\text{pump}}$$

$$H_u = \frac{L_i - L_{w,i}}{g} = \left(\frac{P}{\rho g} + \frac{C^2}{2g} + \zeta \right)_m - \left(\frac{P}{\rho g} + \frac{C^2}{2g} + \zeta \right)_a + \frac{L_{w,ca} + L_{w,cm}}{g}$$

$$H_u = H_m^0 - H_a^0 + Y = H_t + Y$$

$$\frac{L_{w,ca} + L_{w,cm}}{g}$$

incidenza totale

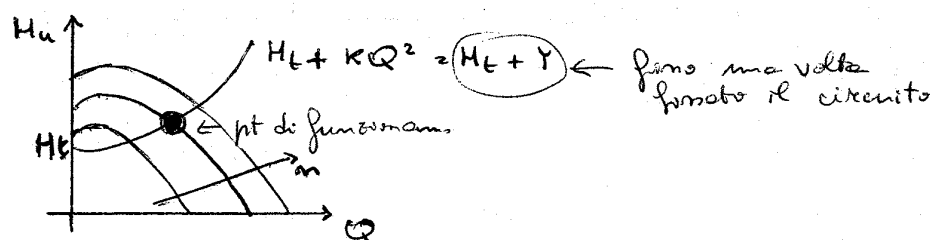
Tipicamente $Y = K Q^2$

$$Y \propto Q^2$$

K dovrà
da qll di prima

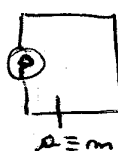
perdute di
carico nei condotti

E una pompa andrà a funzionare dove $H_u = H_t + Y = H_t + K Q^2$



Particolari:

Circuiti chiusi:



$$H_t = 0 \rightarrow H_u = Y = K Q^2 \quad \text{condiz. di similitudine}$$

→ in un circuito chiuso, indipendentemente da m , la pompa funziona sempre con lo stesso $Q \rightarrow$ ho scelto bene la pompa se ho il Q di m_{\max} .

(93)